PENANGANAN HYDRATE GAS DIDALAM PIPA ALIR

TUGAS AKHIR

Diajukan guna penyusunan tugas akhir Program Studi Teknik Perminyakan



PROGRAM STUDI TEKNIK PERMINYAKAN UNIVERSITAS ISLAM RIAU PEKANBARU 2021

HALAMAN PENGESAHAN

Tugas akhir ini disusun oleh

Nama : Sri Wulan NPM : 143210375

Program Studi : Teknik Perminyakan

Judul Tugas akhir : Penanganan Hydrate Gas Didalam Pipa Alir

Kelompok keahlian : Produksi

UNIVERSITAS ISLAMRIAN

Telah berh<mark>asil dipertahankan dihadapan Dewan Penguji</mark> dan diterima sebagai sa<mark>lah satu syarat guna memperoleh gelas Sarjana</mark> Teknik pada Program Studi Teknik Perminyakan, Fakultas Teknik, Universitas Islam Riau.

DEWAN PENGUJI

KANBA

Pembimbing : Fitrianti, S.T., M.T.

Penguji 1 : Neneng Purnamawati, S.T., M. Eng

Penguji 2 : Richa Melysa,S.T.,M.T.

Ditetapkan di ; Pekanbaru

Tanggal : 20 Desember 2021

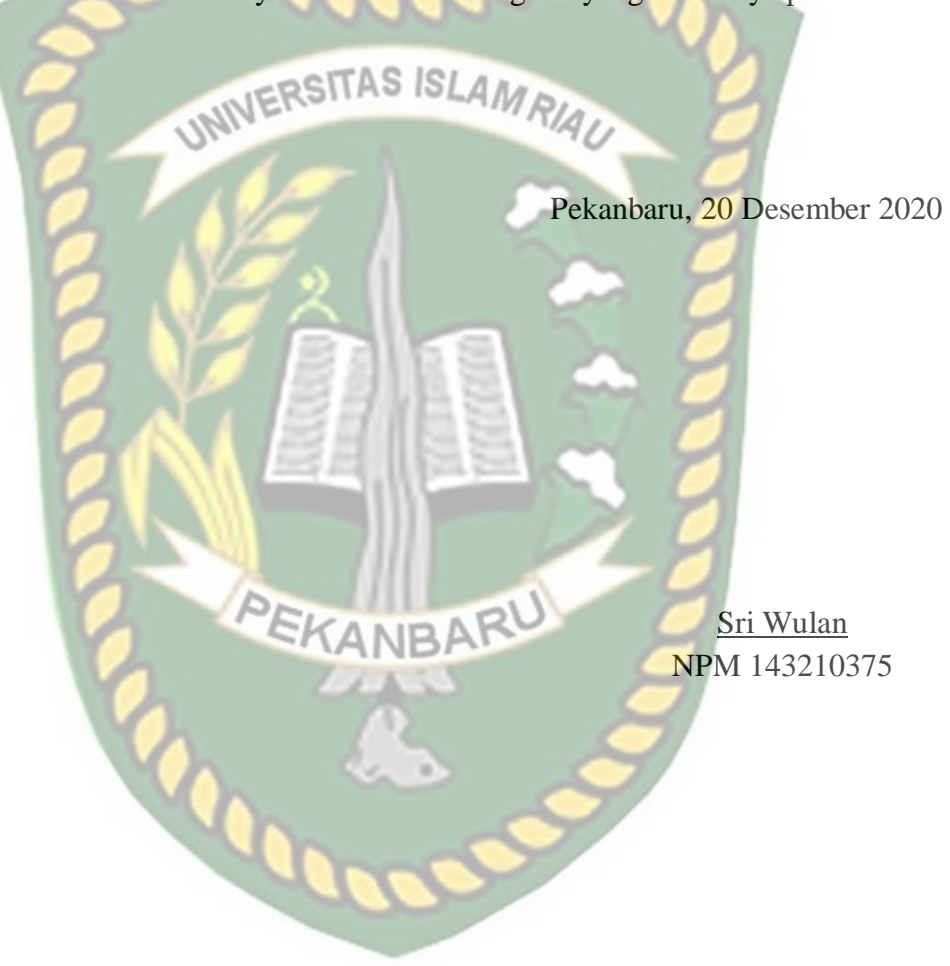
Disahkan oleh:

KETUA PROGRAM STUDI TEKNIK PERMINYAKAN

(Novia Rita, S.T.M.T.)

PERNYATAAN KEASLIAN TUGAS AKHIR

Dengan ini saya menyatakan bahwa tugas akhir ini merupakan karya saya sendiri dan semua sumber yang tercantum didalamnya baik yang dikutip maupun dirujuk telah saya nyatakan dengan benar sesuai ketentuan. Jika terdapat unsur penipuan atau pemalsuan data maka saya bersedia dicabut gelar yang telah saya peroleh.



KATA PENGANTAR

puji syukur kehadirat Allah SWT, yang telah melimpahkan rahmat dan hidayah-Nya sehingga penulis dapat menyelesaikan tugas akhir ini yang berjudul "Penanganan hydrat gas didalam pipa alir"

tugas akhir ini disusun untuk memenuhi persyaratan dalam menyelesaikan pendidikan program strata S1 Teknik Perminyakan Universitas Islam Riau.

Dalam penyusunan dan penulisan tugas akhir ini, penulis menyadari banyak sekali menemukan kesulitan,hambatan, serta ridak lepas dari bimbingan dan dukungan dari bebagai pihak, oleh karena itu penulis ingin mengucapkan terimakasih kepada:

- 1. Allah SWT atas segala ridho dan keberkahan ilmu yang diberikan kepada saya dan setiap petunjuk dan jalah selama penyusunan tugas akhir ini.
- 2. Bapak Dr. Eng, Muslim Selaku Dekan Fakultas Teknik Universitas Islam Riau.
- 3. Ketua prodi Ibu Novia Rita,ST MT dan sekretaris prodi Bapak Tomi Erfando, ST, MT Fakultas Teknik Universitas Islam Riau.
- 4. Dosen Pembimbing Ibu Fitrianti,ST,MT yang telah meluangkan waktunya bagi saya dan memberikan saya kesempatan untuk berkonsultasi serta masukan, kritik dan saran dalam menyelesaikan tugas akhir ini.
- 5. Seluruh dosen dan staff teknik Perminyakan Universitas Islam Riau.
- 6. Kepada Alm. Bapak tercinta yang telah berjuang demi saya dan keluarga saat beliau masih hidup, dan ibu saya sebagai kepala keluarga berdedikasi memberikan semangat baik moral dan spiritual, dari materi dan juga tenaga, yang untuk terus mendukung saya untuk selalu tidak menyerah. Serta saudara tersayang dan tercinta Abang Bambang Banusepa, AMK, Kakak ipar Yusa Hasdina, Amd, AK dan adik Sri Oktaviana.
- 7. Sahabat serta rekan seperjuangan yang selalu mensupport dan membantu saya tanpa kenal waktu saat saya membutuhkan mereka selama masa perkuliahan hingga saat ini. khususnya sahabat terbaik PT.Maksa Production: Abdul Riky Hermawan, Agung Prasetyo, Ahmad Al Fajar Ginting, Andika Panggugah,

Andri Ardian Putra, Claudia Anugerah Putri, Dakas Febrian, Hendri Anugrah, Ihsan Cahyadi, Sigit Aris Munandar Dan Tri Yudha Putra

- 8. Selanjutnya kepada semua teman-teman yang tidak dapat disebutkan satu persatu yang telah memberikan dorongan untuk selalu mengingat perjuangan akhir skprisi
- 9. Dan tidak lupa pula saya mengucapkan terimakasih untuk diri saya sendiri karena telah berusaha apa yang saya bisa hingga saat ini untuk menyelaikan apa yang seharusnya menjadi tanggung jawab atas diri saya sendiri, *thank you*.

Dalam penyusunan skripsi ini, penulis menyadari masih jauh dari kesempurnaan,untuk itu dengan kerendahan hati penulis berharap pembaca bias memberikan kritik dan saran yang membangun untuk penyempurnaan pernulisan di masa yang akan datang

Akhir kata semoga skripsi ini bias membawa manfaat bagi pengembangan ilmu pengetahuan di dalam maupun diluar kampus, baik bagi penulis sendiri dan umumnya bagi pembaca yang membacanya.

Pekanbaru, 20 Desember 2021

Sri wulan

DAFTAR ISI

| HALAMAN JUDUL | |
|---|------|
| HALAMAN PENGESAHAN | i |
| HALAMAN PERNYATAAN KEASLIAN TUGAS AKHIR | ii |
| KATA PENGANTAR | iii |
| DAFTAR ISI | V |
| DAFTAR GAMBAR | vii |
| DAFTAR TABEL | viii |
| DAFTAR LAMPIRAN | ix |
| DAFTAR SIMBOL | X |
| ABSTRAK | xi |
| BAB I PENDAHULUAN | 1 |
| 1.1 Latar belakang | 1 |
| 1.2 Tujuan <mark>pen</mark> elitian | 3 |
| 1.3 Manfaat Penelitian | 3 |
| 1.4 Batasan masalah | 3 |
| BAB II TINJAUAN PUSTAKA | 5 |
| 2.1 Gas Hidrat | 5 |
| 2.1.1 Struktur Gas Hidrat | 8 |
| 2.1.2 Mekanisme Terbentuknya Gas Hidrat | 10 |
| 2.2 Penanganan Gas Hidrat | 12 |
| 2. 3 Metode Pencegahan Dan Penanggulangan Pembentukan Gas | |
| Hidrat | 14 |

| BAB III METODOLOGI PENELITIAN | 18 |
|--|----|
| 3.1 Jenis Penelitian | 18 |
| 3.1.1 Case study | 19 |
| 3.1.2 study lapangan | 19 |
| 3.2 Jadwal Penelitian | 20 |
| BAB IV HASIL DAN PERHITUNGAN | 21 |
| 4.1 Analisis hasil penelitian | 21 |
| 4.2 Interprestasi data | 22 |
| 4.3 Analisis koefesien gas hidrat menggunakan joule-thomson | 23 |
| 4.4 A <mark>nali</mark> sis <mark>Pembentukan Hydrate Gas Menggunakan Kes</mark> etimbangan Vapor- | |
| Solid | 23 |
| BAB V KESIMPULAN | 25 |
| LAMPIRAN | |
| DAFTAR PUSTAKA | |
| PEKANDARU | |

DAFTAR GAMBAR

| Gambar 1. Peta Distribusi Gas Hidrat | 7 |
|--|----------|
| Gambar 2. Peta Potensi Gas Hidrat di Indonesia | 8 |
| Gambar 3 Hidrat Tipe I | <u>g</u> |
| Gambar 4. Hidrat type H | 10 |
| Gambar 5. Mekanisme Terbentuknya Gas Hidrat | 11 |
| Gambar 6 grafik konstanta vapor solid metana | 28 |
| Gambar 7. Grafik kesetimbangan vapor solid Etana | 28 |
| Gambar 8. Grafik kesetimbangan vapor solid Propana | 29 |
| Gambar 9 Grafik kesetimbangan vapor solid n-butana | 30 |
| Gambar 10 Grafik kesetimbangan vapor solid isobutana | 31 |
| Gambar 11 Grafik konstanta kesetimbangan yangr solid CO2 | 31 |



DAFTAR TABEL

| Tabel 1. Jadwal Penelitian | 20 |
|--|--------|
| Tabel 2. Contoh perhitungan metode vapor solid | 26 |
| Tabel 3. Data fisik gas untuk menentukan nilai Pc dan Tc | 34 |
| Tabel 4. Data fisik gas untuk menentukan nilai Mcp | 34 |
| Tabel 5 data yang diperoleh | 35 |
| Tabel 6 Critical Constants and Acentric Factors of Inorganic and Organic Compounds | (Perry |
| handbook) | 36 |
| Tabel 7 Critical Constants and Acentric Factors of Inorganic and Organic Compounds | (Perry |
| handbook) | 36 |



DAFTAR LAMPIRAN

LAMPIRAN I Analisis Pembentukan Hydrate Gas Menggunakan

Kesetimbangan Vapor- Solid

LAMPIRAN II Analisis koefesien gas hidrat menggunakan joule-thomson



DAFTAR SIMBOL

Pc = Pressure, Psia

Tc = Temperature, F

R = Ketetapan gas, 8.314 kj/kmol

Mcp = Mole heat capacity

Mi = Molekul weight | ERSTAS ISLAMRIAU

Yi Fraksi Mol



Penanganan Hydrate Gas Didalam Pipa Alir

Sri wulan 143210375

ABSTRAK

Perkiraan ditahun 1930 an gas hidrate ditemukan terbentuk di jaringan pipa dan meyumbat dibagian pipa serta menimbulkan beberapa permasalahan lainnya, sehingga gas hidrat dipandang sebagai gangguan. Penelitian ini bertujuan untuk menentukan titik terbentuknya gas hidrat menggunakan analisa kesetimbangan vapor solid. Dengan perhitungan tersebut didapatkan pembentukan gas hidrat tersebut terbentuk pada suhu 42.33 F di bawah titik suhu pembentukan gas hidrat dengan menggunakan kesetimbangan vapor-solid. Skala studi kasus pada lapangannya pemilihan motode penanganannya yang digunakan menggunakan inhibor serta secara anlisis uji kasus lapangan menggunakan injeksi chemical.

Kata kunci: gas hidrat, vapor-solid, suhu



BAB 1

PENDAHULUAN

1.1 Latar Belakang

Dengan kemajuan dizaman modern seperti sekarang ini, sinergi tidak lagi didominasi dengan minyak saja. Alternative-alternatif lain mulai sering muncul dipermukaan sebagai media penelitian penemuan yang baru. Baru-baru belakangan ini juga gas hidrat juga sering muncul sebagai salah satu sarana energy yang terus menerus terdorong untuk beroperasi pada bidang produksi gas (Harun, 2012; Naseer & Brandst, 2011). Hal ini membuat setiap bagian negara berebut untuk meneliti lebih lanjut usaha dan upaya agar misteri mengenai gas hidrat dapat terpecahkan, hal-hal yang perlu dikatahui agar dapat menganalisa bagaimana gas hidrat tersebut tersebentuk, masalah yang di timbulkan serta teknologi penemuan baru seperti apa yang akan sesuai. Beberapa Negara tersebut antara lain amerika sarikat, jepang, india,korea, china dan turki. Mereka telah melalukan beberapa observasi seperti, pengeboran, explorasi sumur, coring, seismic survey, logging dan uji coba laboratorium. Akan tetapi, pandangan dan asumsi juga melibatkan pendapat itu sendiri berbeda-beda. (Merey, 2016)

Pada tahun 1881 hidrat gas ditemukan oleh Humphrey Davy ia mengemukakan bahwa air pada klorin dapat membentuk seperti zat kristal dalam kondisi suhu rendah dengan tekanan yang tinggi hal ini dapat disebut juga dengan klorin hidrat. Kemudian di tahun 1930 an di AS ditemukan bahwa gas hidrat yang padat terbentuk di jaringan pipa dan meyumbat dibagian pipa. Setelah saat itu, gas hidrat dipandang sebagai gangguan (Swaranjit Singh, 2015)

Beberapa penemuan berikutnya salah satunya yaitu sekitar di tahun 2010 an, Peneliti keahlian US Geological Survey menemukan potongan gas hidrat bewarna putih dan abu-abu dari pembentukan metana yang tercampur dengan sedimen yang berada didasar pemukaan laut di sekitar samudra pasifik dengan kedalaman air kurang lebih 8000 kaki (United & Geological, 2007)

Kebocoran dan penyumbatan pun tidak dipungkiri seringkali bisa dijumpai atau terjadi pada pipa lapangan system produksi, karena saluran pipa sangatlah rentan akan terjadinya suatu kerusakan. Salah satunya pembentukan gas hidrat yang terjadi pada pipa adalah siatuasi yang paling tidak diinginkan setiap perusahaan yang menjalankannya. (Syukur, 2016; Abdullah, 2012; Naseer & Brandst, 2011)

Dari berbagai kemungkinan seperti tertera diatas kemungkinan resiko-resiko yang mungkin saja terjadi bisa dihindari dan bisa diketahui langkah dan teknologi seperti apa yang biasa dilakukan dalam penanganan system perpipaan yang terbentuk dari gas hidrat tersebut (Martaningtyas & Ariesyady, 2018)

Pengiriman gas alam melaui penyaluran pipa sepanjang proses produksi dari salah satu PT. Pertamina Gas Cimalaya merupakan salah satu uji tinjau dalam masalah kinerjanya. Sebagai salah satu distrik utama pengiriman gas alam distrik cimalaya menggunakan pipa dengan ukuran 24 inch untuk kearah Timur, karena pipa apabila tidak menggunakan 24 inch sebagai penyaluran dengan diameter yang besar maka akan menyebabkan keretakan pada pipa akibat adanya tekanan yang besar. (Nindya K, 2019)

Hal yang perlu diketahu dari gas hidrat ini adalah persoalan masalah dan penanganan itu sendiri sehingga perlu mendapatkan perhatian khusus dalam penanganan gas hidrat. Oleh karena itu dalam pembahasan penelitian ini akan menyoroti mekanisme pembentukan gas hidrat didalam pipa alir serta mengenai penanganan gas hidrat didalam pipa alir yang akan dapat dilakukan untuk pencegahan dan dampak proses pembentukan gas hidrat.

1.2 Tujuan Penelitian

Berdasarkan latar belakang tersebut maka tujuan dari penelitian ini adalah sebagai berikut:

- 1. Memprediksi titik pembentukan gas hidrat didalam pipa alir dengan menggunakan kesetimbangan vapor-solid
- 2. Analisa metode yang tepat dalam pencegahan dan penanganan gas hidrat didalam pipa alir

1.3 Manfaat Penelitian

Di harapkan penelitian ini dapat bermanfaat sebagai bahan informasi terhadap industry hulu dan hilir migas terkhususnya, maupun mahasiswa teknik perminyakan Universitas islam riau dalam hal penaggulangan dan penanganan gas hidrat didalam pipa alir disepanjang jaringan pipa untuk menimalisir resiko-resiko yang mungkin saja terjadi. Selain itu penelitian ini diharapkan dapat dilanjutkan oleh mahasiswa teknik perminyakan universitas islam riau yaitu menganalisa potensi gas hidrat sebagai sumber energy masa depan serta membuat pemodelan pipa untuk pemodelan hiydrate.

1.4 Batasan Masalah

Batasan masalah dalam penelitian ini terdiri dari beberapa cakupan masalah yang akan diteliti dianataranya:

Ruang lingkup tujuan penelitian dibatasi pada aliran pipeline produksi.
 Pengamatan dan evaluasi dilakukan dari sepanjang pipa produksi perusahaan saja.

- 2. Penelitian ini hanya berfokus pada prediksi menentukan titik pembentukan gas hidarat didalam pipa alir dengan menggunakan data masing-masing fraksi mol dan data produksi seperti tekanan dan temperature
- 3. Penelitian ini tidak mempertimbangkan aspek perekonomian dalam melakukan penganan ataupun analisa seabagai sumber energy masa depan.



BAB II

TINJAUAN PUSTAKA

Gas Hidrat merupakan gas alam yang telah menjadi salah satu target sinergi masa depan yang paling penting bagi perusahaan dan negara baru-baru ini. Banyak proyek eksplorasi gas hidrat dan uji produksi nasional dan internasional telah diselenggarakan sejak tahun 2002. Adanya sumber daya alam tidak lepas dari makin meningkatnya penemuan dan penelitian yang baru. Segala sesuatu uji coba dan penelitian merupakan suatu kehendak Allah Subhana wata'ala yang membimbing manusia apa yang ada di langit dan apa yang ada dibumi untuk dimanfaatkan manusia ciptaannya dan sebagai khalifah di muka bumi. Dalam salah satu Firman Allah sebagai petunjuk manusia pada Q.S Taha (20): 6, milik-Nya lah apa yang ada di langit dan apa yang ada dibumi, apa yang ada diantara keduanya, dan apa yang ada di bawah tanah.

2.1 Hidrat Gas

Gas bumi atau disebut juga dengan gas alam merupakan bahan bakar fosil berbentuk gas yang ditemukan atau diperoleh lasnug dari perut bumi baik itu diladang minyak, gas bumi dan juga bias ditemukan di tambang batu bara (Kemdikbud, 2015; Kementerian ESDM, 2014)

Menurut Prof. Doddy Abdassah, Ph.D, seorang prof. Teknik Perminyakan di ITB Gas hydrate adalah senyawa material yang berbentuk seperti es kristal yang mana molekul-molekul air terbentuk menjadi bundaran klarat yang memiliki rongga, rongga-rongga tersebut terisi dengan partikel gas. Menurut Alfian Usman sendiri, Spesialis dari Energi Fosil Inkonvensional merupakan dari Pusat Teknologi Hulu (Direktorat Hulu), hidrat gas terbentuk pada tekanan yang tinggi dengan temperature yang rendah dan biasanya terdapat pada permukaan dasar laut (Harun, 2012)

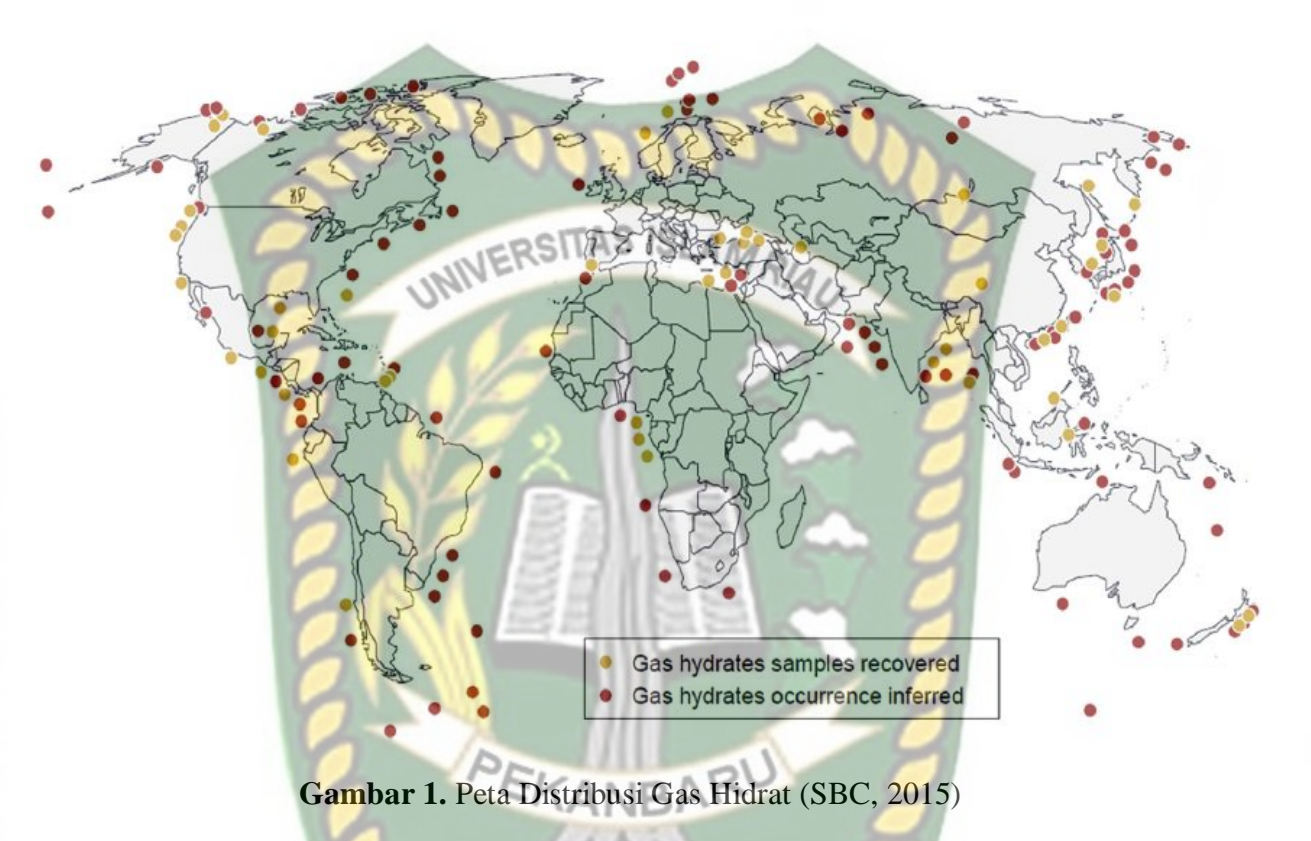
Sedangkan kementerian energy dan sumber daya mineral (ESDM) berpendapat Gas hidrat merupakan suatu es yang mebentuk seperti es Kristal yang dikenal sebagai senyawa pertimbangan, menjadi senyawa spesifik di mana atom gas terperangkap dalam struktur rongga yang terdiri dari atom air. Gas ini adalah aset sinergi yang terbesar di bumi selain minyak, 53% dari pengangkatan hidrokarbon tersebut secara nature adalah sebagian gas hidrat. Penilaian tersebut diketahui di zona sekitar kutub utara dan dasar laut di dalam (ESDM, 2020).

Secara teori (Merey, 2016; USGS 2018) menjelaskan, Gas hidrat terbentuk melalui adanya ikatan antara hidrokarbon dan oksigen yang senyawanya saling berikatan. Hidrat ini terbentuk oleh respon antara karakteristik gas dan air . dalam jumlah yang absolut, deposit atau pemasukan gas hidrat secara global dapat diperkirakan menyita sebesar 324,8 x 10,15 m2 (106,000-876,000 triliun kaki kubik). Sebagai perbandingan konsumsi gas hidrat di marekia serikat pada tahun 2016 melebihi 27,49 TCF. Menurut again Administrasi Informasi Energi AS, studi menunjukan bahwa gas hidrat dapat mencegah setidaknya 10-15 persen dari persedian karbon di global.

Dari jumlah deposit tersebut menurut (susanto heri, 2016) gas hidrat tersebut menajari daya tarik dalam beberapa hal. (1) sebagai geohazard dibawah laut, (2) sebagai factor perubahan iklim global, dan (3) sebagai sumber poyensi energy yang cukup besar.

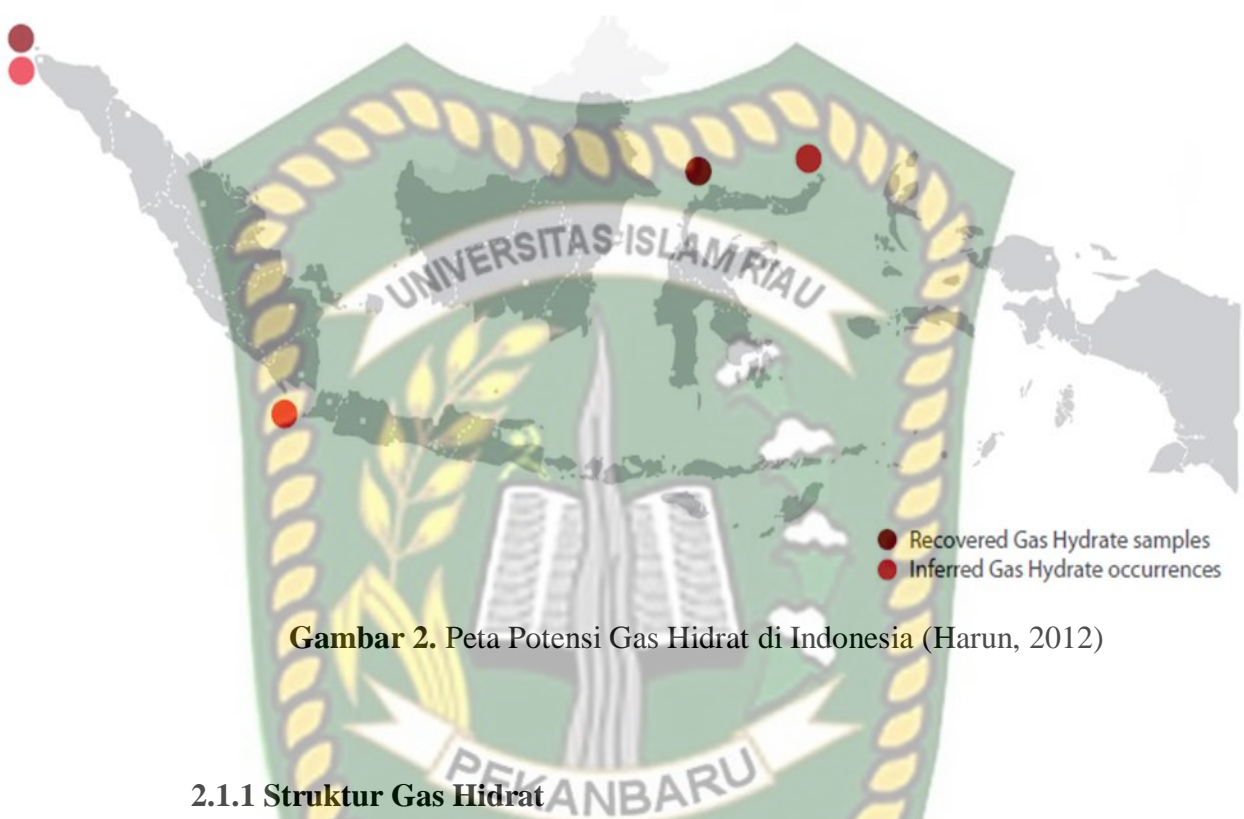
Gas hidrat terdiri dari beberapa unsur senyawa yang saling berikatan dalam pembentukan strukturnya seperti pada unsur umumnya terdiri dari metana, etana, propane dan karbon dioksida (Masoudi & Tohidi, 2005) . Senyawa-senyawa yang terbentuk tersebut merupakan hal yang paling umum atau paling sering di jumpai di system produksi minyak atau gas di penyumbatan pipa dengan tekanan yang tinggi dan temperature yang rendah.(Lachance & Keinath, 2015)

Pada awalnya studi gas hidrat ini yang menyumbat pada pipa hanya difokuskan untuk memastikan aliran minyak dan gas berjalan dengan baik tanpa menimbulkan masalah pada produksinya. Hingga tiba di tahun 1980 an gas hidrat ini telah menajdi masalah internasional bagi setiap perusahaan terhadap gas hidrat.(Ruppel, 2018)



Di Indonesia sendiri alfian menyebutkan sebagai salah satu unconventional fosil energy specialist dari upstream technology center (Harun, 2012) potensi gas hidrat masih dalam studi dan penerapan yang sangat sedikit. Kerjasama dibidang ini pun merupakan hasil kerja sama pemerintah dengan jerman, jepang dan beberapa Negara. Dari Pihak Pertamina sendiri telah mendapatkan tawaran kerja sama dari japan Geoscience Instintute untuk meneliti lebih detail mengenai gas hidrat. Menurut alfian sinergi dan perkembangan ini tiada berarti jika tidak ada dukungan dari pemerintah itu sendiri, karena itu tak hanya dari pemerintah alfian menuturkan berharap projek kerja sama dari pertamina pun mampu menarik kerja sama baik

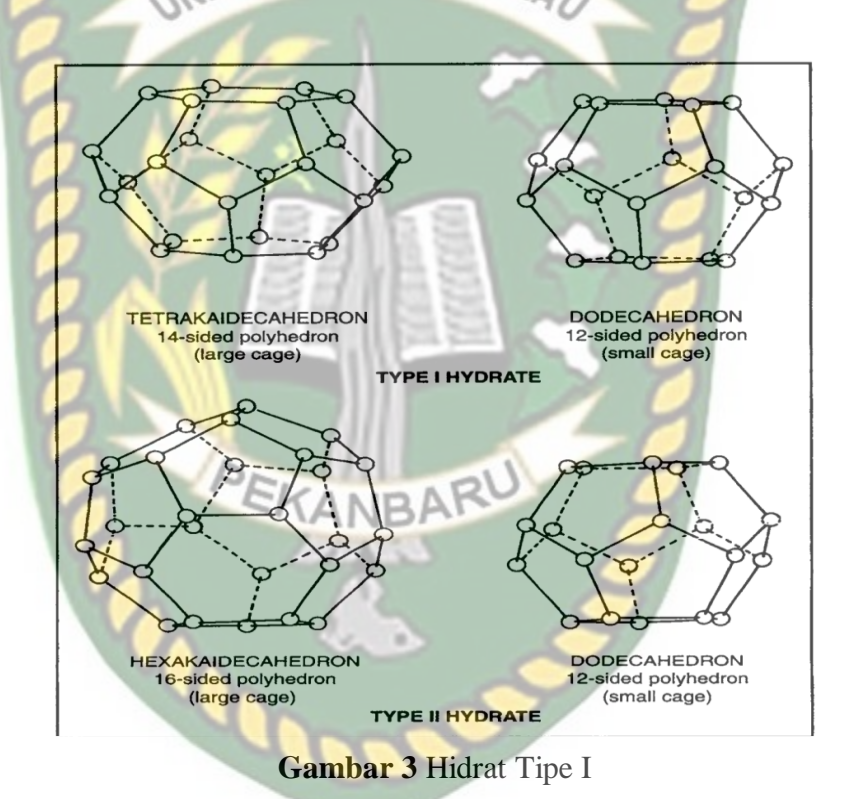
terhadap perguruan tinggi ataupun lembaga-lembaga penelitian juga sector-sektor dari perusahaan swasta.



Setelah diakui keberadaannya gas hidrat menjadi suatu keharusan untuk menyajikan secara secara keseluruhan struktur yang menjadi terbentuknya gas hidrat. Pelopor pertama yang memberikan asumsi informasi struktur rinci gas hidrat pertama kali yang bernama Parrish dan Praunsnitz mereka juga orang yang menyediakan computer perhitungan algoritma pertama. Tak hanya itu metode ini di bantu dengan menggunakan metode fraksi sinar X von stackelberg sebagai informasi rinci lainnya (Swaranjit Singh, 2015). Berikut dipaparkan beberapa struktur atau tipe yang paling umum dari gas hidrat dari (Nindya K, 2019; Swaranjit Singh, 2015)

A. Hidrat Tipe I

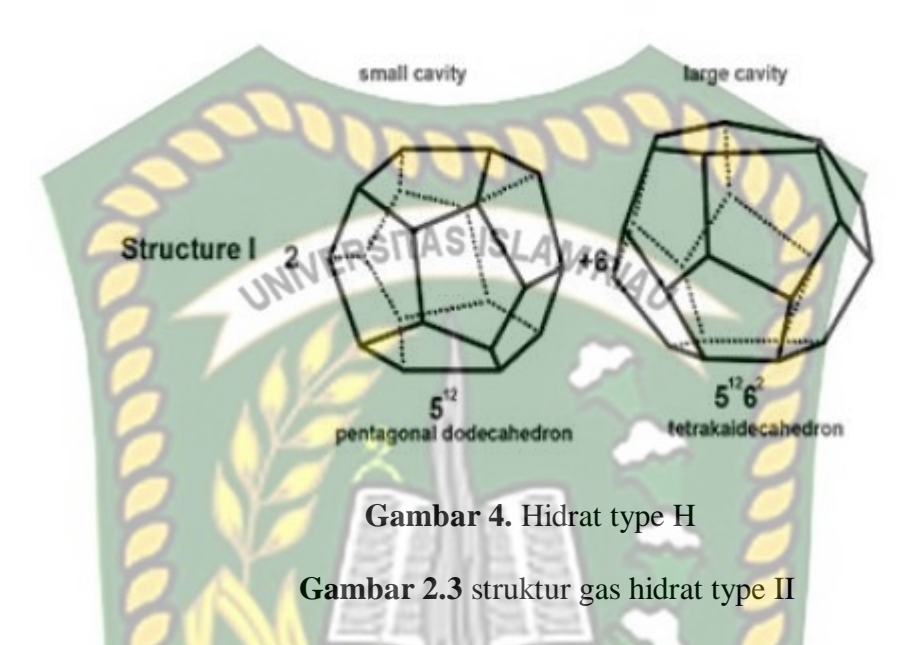
Struktur atau tipe gas hidrat yang paling sederhana adalah Type I. Struktur inijuga pertama kali di kemukakan oleh von stackelberg. Struktur Type I ini adalah Dodecahedron dan Tetrakaidecahedron. Dodecahedron dengan 12 sisi polidron sedangkan tetrakaicahedron memiliki 14 sisi) dan terdiri dari 14 molekul air dengan rumus teoritis X.534H2O, dan X adalah molekul-molekul gas pembentuk hidrat. Jika dibandingkan Struktur kerangka Dodecahedran ini lebih kecil dari pada struktur kerangka Tetrakaidecahedral



B. Hidrat Tipe II

Jika dibandingkan dengan struktur tipe I, jenis struktur II ini sangat komplek yaitu molekul yang teridiri dari 136 molekul air. Jenis ini terdiri dari gas nitrogen, propan dan ibutan. Kelebihannya struktur dari nitrogen mampu membentuk kerangka

dengan bentuk kecil maupun besar dalam menempati sturktur gasnya. Sedangkan propan atau isobutan hanya bisa menempati struktur yang besar saja.



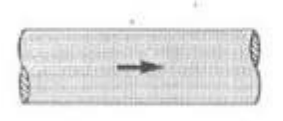
Pengaruh suhu dan tekanan juga dapat mempengaruhi bentuk hidrat. Struktur hidrat tipe I yang berada pada suhu dan tekanan yang rendah, dapat berubah menjadi struktur hidrat tipe II pada suhu dan tekanan yang lebih tinggi (Nindya K, 2019)

C. Hidrat Tipe III

Hidrat tipe struktur III atau biasanya disebut dengan tipe H, tipe ini sangat jarang di jumpai pada struktur gas alam . struktur H terdiri dari 3 kerangka kecil dari12 pentagonal dipermukaanya.

2.1.2 Mekanisme Terbentuknya Gas Hidrat

Mekanisme dibawah mendeskripsikan bagaimana proses suatu gas hidrat dapat terbentuk melalui aliran yang berada didalam pipa



Gas mengalir dalam pipa danmengalami pendinginan sehingga terbentuk air bebas.Air bebas tersebut ikut mengalir bersama gas.



Jika suhu gas lebih rendah dari suhu pembentukan hidrat, maka molekul air tersebut akan bergabung dengan molekul hidrokarbon ringan sehingga terbentuk kristal hidrat. Kristal hidrat tersebut akan ikut mengalir bersama gas, akan tetap apabila ada permukaan pipa sebelah dalam yang tidak rata, maka kristal hidrat akan mengendap ditempat itu.



Kristal hidrat akan berkembang dengan cepat dan akan menghambat laju air gas di dalam pipa.



Pada kondisi ekstrim, hidrat dapat membuat buntu pipa.

Gambar 5. Mekanisme Terbentuknya Gas Hidrat (Kemdikbud,2015)

Dua kondisi penting yang dapat mendorong pembentukan gas hidrat yaitu gas berada pada suhu dan tekanan yang sesuai, dan gas berada pada titik dew point atau di bawah titik dew point. Hal yang kemungkinan besar dapat memperbesar pembentukan gas hidrat yaitu suatu keadaan atau kondisi tekanan pada aliran gas yang meningkat atau ketika gas menjadi lebih dingin. Hal ini memungkinkan air membentuk hidrat sebagai hasil dari sifat ikatan hidrogennya. (Sanjaya & Nofendy, 2018a)

Peyumbatan pada pipa menjadi salah satu masalah dalam aliran sehingga akan menimbulkan tingkat penyempitan dalam operasi penyaluran. Penyumbatan bisa terjadi pada saluran valve atau fitting. Peyumbatan tersebut tentu saja dapat menggangu proses dalam produksinya. Beberapa factor yang dapat membentuk hidrat jika bebrapa hal terpenuhi yaitu (Kemdikbud, 2015):

- 1. Suhu rendah dan tekanan tinggi
- 2. Adanya pembentuk hidrat seperti CH₄, C₂, CO₂, H₂S
- 3. Terbentuknya air bebas didalam system perpiaan (free water)

Jika temperatur gas dalam operasi pipa dialirkan pada temperatur pembentukan hidrat atau lebih rendah, air bebas, sehingga gas akan mengandung uap air maksimum (jenuh) dan akan mengalami pendinginan. Sebaliknya, jika temperatur pipa gas mengalir lebih tinggi dari temperatur pembentukan hidrat, maka tidak akan terbentuk hidrat di dalam pipa meskipun pada saat itu terdapat air bebas di dalam pipa. (Crishtensen d.1, 2009)

Secara umum, pengaturan gas terjadi akibat adanya perubahan pada tekanan, perubahan ini mengikuti perubahan pada penurunan suhu yang dilalui oleh fluida. Apabila tekanannya lebih tinggi dari temperature pembentu gas hidrat maka kemungkinan sedikit prediksi kecil akan terbentuknya gas hidrat didalam pipa meskipun dialamnya terdapat airbebas yang terkandung didalamnya. Air bebas ini merupakan hasil dari pembentukan temeratur yang rendah atau lebih besar sehingga akan terbentuk air maksimum atau air jenuh. (Syukur, 2016)

2.2 Penanganan Gas Hidrat

Penanganan gas hidrat dapat dilakukan dengan berbagai cara sesuai dengan teknologi, metode dan kebutuhan yang digunakan. Metode-metode mengantisipasi dari pembentukan pada umumnya terdapat 3 cara yang biasa dilakukan (Kemdikbud, 2015; Nindya K, 2019)

- Mengubah choke yang terdapat pada kepala sumur, sehingga bobot yang berada didalam garis aliran dapat di pertahankan sehingga suhu akan di pertahankan di atas suhu pembentukan gas hidrat.
- 2. Menginjeksi inhibitor hidrat hal ini untuk menurunkan titik pemadatan air yang terbentuk di dalamnya.

Penginjeksian secara lansung ke inhibitor ini telah terbukti adanya yaitu ujicoba yang dilakukan dengan menyuntikkan etilena glikol pada sedimen yang berpori untuk menghambat gas hidrat. metode ini tegolong cukup mengeluarkan biaya yang besar.

Pembentukan gas hidrat sebagian besar terjadi pada system perpipaan, sehingga pada kasus inhibito percangan ini meliputi beberapa hal (Ameripour, 2005):

- Untuk meningkatka operasi pengiloasian suhu di dalam pipa atau menerapkan panas didalam pipa
- Bila memungkinkan agar bias dapat menurunkan tekanan didalam pipa.
- Dengan menambahkan sejumlah inhibitor yang sesuai pada kondisi pipa dapat mengurangi suhu pembentukan atau juga dapat meningkatkan tekanan pembentukan hidrat

Prinsip pada pengerjaan inhibitor untuk menngeserkan pembentukan hidrat keluar dari kondisi operasinya yaitu tekanan dan temperature. Methanol merupakan salah satu yang paling sering digunkan karena bahannya yang sederhana da reable, namun kekurannganya adalah apabila kadungan air didalamnya telalu banyak atau tekanan pada pembentukan hidrat besar. Methanol tidak digunakan karena mengingat harganya yang mahal (Novandy, n.d.)

3. Dehidrasi gas

Metode ini juga memerlukan biaya yang cukup minim, sehingga cukup ideal jika digunakan tetapi kekurangannya pun pada metode ini yaitu mengakibatkan injeksi pompa bisa tidak berjalan dengan baik. Hallainnya juga dehidrasi gas bias menyebabkan korosi atau pengkaran pada pipa aliran.

2.3 Metode Pecegahan dan Penanggulangan Pembentukan Gas Hidrat

Berikut beberapa tori metode pencegahan dan penanggulangan berdasarkan (Kemdikbud, 2015; Nindya K, 2019; Sanjaya & Nofendy, 2018b)

1. Heater

Di beberapa daerah penaggulangan gas hidrat dengan menggunakan heater akan lebih murah tergantung pada pengendalian yang dilakukan, sesuai dengan temperature yang dikondisikan diatas temperature pembentukan hidrat.. Metodologi ini dianggap lebih murah dengan alasan bahwa tenaga awal untuk peralatan pemanasan lebih sedikit daripada unit pengeringan, prosedur ini umumnya lebih mudah dan praktis.

Paling umum heater ini memiliki minus uap air yang tetap berada didalam gas dan kemungkinan terjadinya hidrat akan tetap terbentuk, karena itu kadang-kadang perlu menjaga stabilitasnya temperature sampai tempat tujuan, sehingga heaternya perlu di atur.

Ada dua jenis heater yang digunakan, yaitu:

• Flow line heater, yaitu dengan cara pipa dipanaskan lansung dengan api didalam ruang tertutup

 Indirect heater, yaitu fluida yang berada didalam pipa alir tetap dialirkan, dan steam yang dipanaskan di pipa terseebut bekerja sebagai alat pemanas diharapkan temperaturnya gasnya tetap berada pada kondisi pembentukan hidrat

Berdasarkan insulsi *Norwegian technoly standart institution* (Aji et al., 2020) insulsi pada penggunaan heater ini untuk mengurangi atau betujuan agar pertahanan pada suhu operasi tidak hilang sehingga pemanasan ini dapat mencegah pembekuan, pemadatan dan kondensasi.

2. Heater Electric

heater electric dipisahkan menjadi dua kategori, lansung dan tidak lansung. Dalam pemanasan yang lansung heater listrik lansung dialirkan melalaui dinding pipa dan menghangatkan aliran pipa cairan tersebut secara khusus. Dalam pemanasan tidak lansung aliran listrik dilakukan pemanasan diatas komponen permukaan pipa, dan aliran cairan dihangatkan oleh konduksi thrmal

3. Hot Oil Circulation

Hot oil circulation adalah salah satu yang paling umum digunakan pada hidrasi. Sirkulasi minyak panas ini dilakukan untuk mengurangi bahaya hidrasi. Minyak panas disirkulasikan melalui saluran untuk mencabut cairan dingin dan menghangatkan saluran.

4. Injeksi Kimia/ Chemical Inhibition

Pengekangan hidrat dengan menghadirkan inhibitor ke dalam gas akan menawarkan bantuan menjaga jarak strategis dari pengaturan hidrat dengan menurunkan titik pengerasan air. inhibitor yang dapat digunakan seperti glikol, metanol, garam bau dan air garam.

Berdasarkan peneltian menurut (Novandy, n.d.) dalam penginjeksian chemical sebaiknya memprediksi terlebih dahulu temperature pada pembentukan gas hidratnya. Dengan kata lain pada dasarnya pada lokasi lapangan jika tidak diketahui temperaturnya makanhasilnya tidak akan sesuai dengan kenyataan dilapangan, penentuaan ini dikuti dengan adanya kehadiran inhibitor

5. Scrubber

Scrubber biasanya bejana yang dipasang secara vertikal yang diatur dengan interior untuk menyaring dan mengumpulkan kontaminasi. Kemenangan operasi ini sangat bergantung pada tingkat kebersihan gas normal itu sendiri. Sebagian besar karakteristik gas yang ada sebagian mengandung fluida air atau disebut juga air bebas

6. Dehidrasi Gas

Dehidrasi gas adalah metode yang digunakan untuk mengisolasi uap air dari aliran gas. Penanganan dehidrasi ini juga dikenal sebagai dehidrasi gas. Kinerja dehidrasi ini yaitu untuk mempertemukan gas dengan zat yang dapat mengikat air . dengan selang beberapa waktu zat tersebut akan jenuh oleh uap air sehingga uap air tidak dapat menyerap dari gas, 2 jenis yang biasa digunakan pada dehidrasi gas:

• Liquid-Dessicant Dehydration

merupakan susunan DEG (diethylene glycol) atau TEG (triethylene glycol).

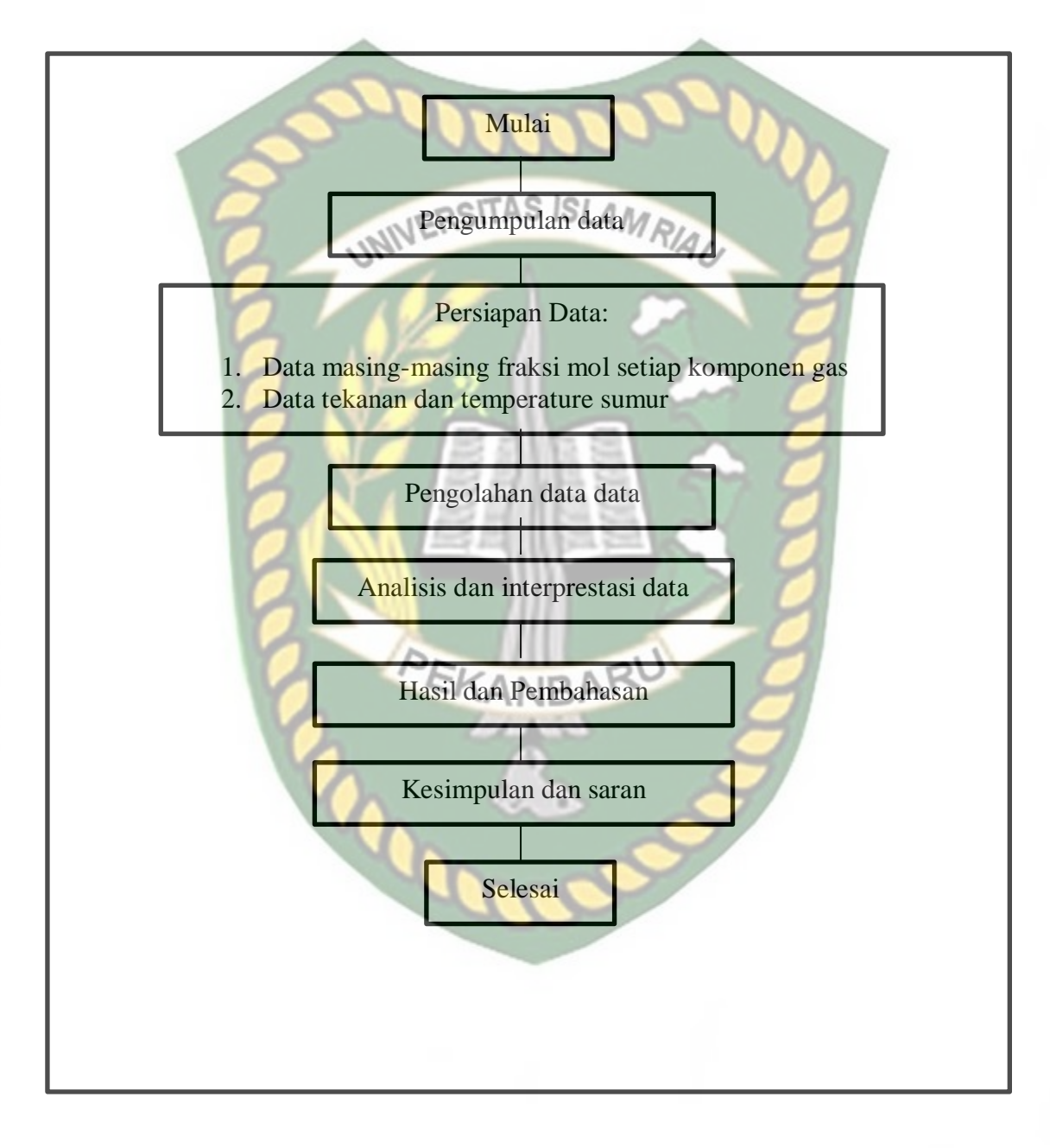
• Solid Dessicant Dehydration

Solid Dessicant Dehydration biasanya mengeluarkan biaaya yang cukup tinggi dalam pengoperasiannya. Karena penggunaan yang sangat terbatas ini, dalam aplikasi seperti itu zat H2s tinggi lebih berhasil daripada

pengeringan glikol untuk volume gas, jika volume gas tersebut besar pada tekanan yang bervariasi. jika temperature gas naik maka laju alir gas harus di turunkan sebagai ganti naik tadi, karena dehifrator sangat sensitive terhadap



BAB III METODOLOGI PENELITIAN



3.1JENIS PENELITIAN

3.1.1 Case study

Penelitian ini menggunakan data sekunder yaitu data yang berupa dari file-file paper ataupun jurnal ilmiah. Beruba data produksi sumur atau data perusahaaan yang sesuai kita gunakan sebagai bahan yang dibutuhkan. Data-data tersebut berupa data tekana, tempratur dan komponen gas pada masing-masing fraksi molnya yang dapat digunakan sebagai perhitungan prediksi pembentukan gas hidrat sebagai berikut:

- a. Data masing-masing fraksi mol
- b. Data sekunder operasional (tekanan dan temperature) pada pipa outlet 24 inch

3.1.2 Studi Lapangan

Lapangan berikut merupakan salah satu PT. Pertamina Gas Distrik Cimalaya dari salah satu stasiun komposer gas di wilayah operasi wastern java area. Lapangan ini merupakan distrik utama pada wilayah cimalaya untuk pegirimina gas alam pada daerah timur dan barat. Lapangan SKS ini menggunakan jaringan pipa sebagai komponen utama dalam operasional distribusi, baik dari pelabuhan atau kilang terhubung menggunakan segmen pipa saluran gas yang mengandalkan kompesor untuk mendorong gas agar mengalir melalui pipa. Pipa outlet cimalaya 24 inch merupakan salah satu dari jaringan pipa yang menyalurkan gas dari 4 sumber gas. Dari banyaknya jenis gas dan jalur yang proses yang dilalui hal ini tentu saja menguatkan keberadaan air yang terkandung didalamnya mungkinn saja tidak bias di hindari sehingga hal-hal yang

tidak diinginkan bias dihindari dalam pendustrian gas alam. Maka dari itu dilakukan analisa menentukan pembentukan gas hidrat pada pipa outlet 24 inch cimalaya ini yang mungkin saja sebagai salah satu pipa terdapatnya factor pembentukan hidrat

3.1.3 Jadwal Penelitian

Penelitian dilakukan mulai pada bulan Oktober hingga Desember 2021 dengan perincian kegiatan dapat dilihat pada tabel 1.

Tabel 1. Jadwal Penelitian

| No | jen <mark>is kegia</mark> tan | | oktob <mark>er-d</mark> esember | | | | | | | | | | |
|-----|--|---------|---------------------------------|---|-----|-----|----------|---|---|---|----------|---|---|
| INO | | | oktober | | | | november | | | | desember | | |
| 1 | Studi literatur | 1 2 3 4 | | | | 1 | 2 | 3 | 4 | 1 | 2 | 3 | 4 |
| 2 | Pengum <mark>pulan dan peng</mark> olahan data | Ī | ı | 1 | . 5 | | | N | | | | | |
| 3 | Evaluasi <mark>pengolahan data</mark> | | | | P | | | | | | | | |
| 4 | Penyusunan proposal penelitian | | | 1 | 6 | - / | | 1 | | | | | |
| 5 | Persentasi proposal penelitian | 0 | U | J | | 7 | | | | | | | |
| 6 | Revisian | 11 | | | | 1 | 71 | | | | | | |
| 5 | Persentasi TA | | | | 1 | | W | | | | | | |

BAB IV

HASIL DAN PEMBAHASAN PENELITIAN

4.1 Analisis hasil penelitian

Analisa study kasus hidrat gas dilakukan pada salah satu bagian dari lapangan PT.Pertamina gas cimalaya yang berada pada wilayah operasi western java area di distrik cimalaya. Penyaluran produksi gas yang dilakukan sepanjang jalur merupakan penyaluran dengan menggunakan pipa. Pada lapangan PT. Pertamina gas cimalaya atau disebut dengan stasiun composer gas (SKG) sebagai composer utama yang yang mentrasformasi gas dari wilayah timur dan barat. Dalam hal ini lapangan SKG sendiri merupakan distrik utama yang mana di distrik ini gas akan dipisahkan dengan air dan gas, juga memberikankan tekanan pada tekanan yang rendah agar dapat mengalirkan hingga ke pihak konsumen atau ke wilayah penyaluran yang dituju. Pada penyalurannya pihak distrik utama menggunakan dua pipa penyaluran yaitu pipa dengan ukuran 14 inch kea rah timur dan 24 ke arah barat.

Penyaluran utama yang digunakan pada SKG cimalaya salah satunya yaitu dengan menggunakan turbin kompesor sebagai salah satu penyaluran dan membantu untuk proses pendorongan pengiriman gas alam. Pipa jenis 24 inch ini dilakukan untuk mengetahui tekanan dan temperaturnya yang dilakukan rutin setiap 1 bulan sekali.

Berdasarkan pemprosesan alur yang dilalui dari aliran pipa sepanjang pengiriman produksi gas alam, salah satu pembentukan gas hidrat tak bisa dihindari kebradaannya yang terkandung atau tersumbat didalam pipa tentu saja hal ini tidak diinginkan terjadi dalam pendistribusian gas alam. Karena itu dilakukan analisa dalam memprediksi pembentukan gas hdirat didalam pipa serta metode yang sesuai dengan penanganannya.

b ja fe m a m rersitas Islam Riau

4.2 interprestasi data

Interprestasi data merupakan data-data yang mencangkup sesuai dengan kebutuhan untuk perhitungan pembentukan gas hidrat. Analisa penanganan hydrate gas berikut berdasarkan data sekunder dari data aktual sebuat lapangan tersebut, diamana selanjutnya akan dikalkulasi dan korelasi menggunakan grafik berdasarkan data tekanan, temperature dan masing-masing komponen fraksi molnya

1. Table fraksi mol untuk masing-masing komponen gas pada bulan juni 2019

| 6 | hydrate formation temperature | | | | | | | | | |
|------------------------------|-------------------------------|--------|--------|--------|--------|---------|---------|----------------|---------|--------|
| komposisi gas dan fraksi mol | | | | | | | | | | |
| bulan | N2 | CO2 | CH4 | C2H6 | C3H8 | n-C4H10 | i-C4H10 | n-C3H12 | i-C3H12 | C6H14+ |
| jan | 0.0154 | 0.0657 | 0.0154 | 0.0311 | 0.0263 | 0.0064 | 0.0047 | 0.0015 | 0.0019 | 0.0027 |
| feb | 0.0285 | 0.0704 | 0.8463 | 0.0298 | 0.0256 | 0.0064 | 0.0045 | 0.0 015 | 0.0018 | 0.0028 |
| mar | 0.0135 | 0.0676 | 0.8497 | 0.0285 | 0.0246 | 0.0062 | 0.0043 | 0.0 014 | 0.0017 | 0.0024 |
| apr | 0.0108 | 0.0729 | 0.8466 | 0.0288 | 0.0245 | 0.0062 | 0.0044 | 0 .0014 | 0.0017 | 0.0027 |
| mei | 0.0116 | 0.0813 | 0.8396 | 0.0279 | 0.0238 | 0.0060 | 0.0042 | 0.0014 | 0.0017 | 0.0024 |
| juni | 0.0178 | 0.0641 | 0.8492 | 0.0285 | 0.0247 | 0.0061 | 0.0043 | 0.0013 | 0.0016 | 0.0024 |

2. Data tekanan dan temperatur pada pipa 24 inch bulan Juni 2019

| | | | | | 400 | |
|-------|----------|--------------------|----------|-------------|----------|-------------|
| hulan | av | <mark>erage</mark> | оре | erating | sa | ımple |
| bulan | pressure | temperature | pressure | temperature | pressure | temperature |
| jan | 257.036 | 114.074 | 252.72 | 112.87 | 239.396 | 113.154 |
| feb | 250.1125 | 112.61 | 248.36 | 110.005 | 248.9975 | 111.9625 |
| mar | 254.8925 | 110.2075 | 245.17 | 109.34 | 245.42 | 111.03 |
| apr | 256.015 | 115.91 | 258.4575 | 113.495 | 257.4025 | 115.125 |
| mei | 244.3475 | 114.6975 | 245.3475 | 111.865 | 244.535 | 116.6025 |
| juni | 252.5075 | 117.4475 | 251.685 | 114.1625 | 251.5975 | 115.015 |

4.3 Analisis Pembentukan Hydrate Gas Menggunakan Kesetimbangan Vapor-Solid

Metode analisis kesetimbangan vapor-solid adalah untuk menentukan titik pembentukan gas hidrat dengan persamaan

$$\sum_{i=1}^{n} \left(\frac{Y_i}{K_i}\right) - 1 \dots$$

Persamaan ini temperature pembentukannya dapat digunakan menggunakan nilai kesetimbangan (Lampiran) Kvs atau Ki yang mana Yi/Ki = 1 . Nilai Ki akan didapatkan di tiap komponen gas dengan menggunakan grafik untuk kesetimbangan vapor-solid dari masing-masing fraksi atau komponen gas. Selanjutnya nilai Yi/Ki merupakan nilai yang didapt dari total perhitungan Yi/Ki pada suhu tertentu. Range pada kesetimbangan vapor-solid memiliki range 41-47 F. sehingga pada perhitungannya hanya menetapkan di range 40-45 F dari hasil yang mendekati. Sehingga dari hasil perhitungan yang didapat berada pada suhu 42,33 F. dari hasil tersebut pembentukan gas hidrat kemungkinan kecil bisa terbentuk karena masih berada dibawah temperature pipa pada aliran gas tersebut

4.4 Analisis koefesien gas hidrat menggunakan joule-thomson

Koefesien perhitungan analisa ini adalah untuk menentukan apakah tekanan yang terbentuk pada sumur atau pipa aliran tersebut bisa terjadinya pembentukan gas hidrat akibat adanya perbedaan tekanan tinggi didalam aliran pada tekanan aliran yang rendah.maka dari itu akan menggunakan metode untuk mengetahui temperature pada aliran pipa.

$$\mu\pi = \lim_{\Delta p \to 0} \frac{T_2 - T_1}{p_2 - p_1} \dots 2$$

Rumus tersebut mempertimbangkan pengukuran secara isopenthalpi

$$\mu\pi = \left(\frac{\delta T}{\delta P}\right) H. \tag{3}$$

Perumusahan untuk gas menurut van der waal, pada jhoule Thomson adalah

$$\mu\pi = \frac{\frac{2a}{RT} - b}{Cp}.$$

Data yang berada pada kondisi lapangan di cimalaya menggunakan data operasional selama rutin 1 bulan. hasil dari penentuan penilaian pembentukan gas hidrat di lampirkan pada perhitungan pada (Lampiran) sebagai perbandingan menggunakan vapor-solid yang melewati fluida atau gas dengan perbedaan tekanan lasnung dari pipanya.

BAB V

KESIMPULAN

Berdasarkan pengolahan data yang telah dilakukan dapat diambil beberapa kesimpulan dari penelitian ini, yaitu sebagai berikut:

- Analisa penggunaan kesetimbangan menggunakan vapor-solid pada range 40-45 F mendapati hasil pembentukan pada suhu 42,32 F. pada metode ini gas hidrat kemungkinan dapat terbentuk dikarenakan tekanan pada aliran fluida atau gas yang dilewati masih berada di bawah tekanan pembentukan gas hidrat.
- 2. Perbandingan penggunaan dua analisis dengan perbedaan yang cukup seknifikan yang mana perbedaannya terletak pada suhu pembentukan hidrat. Perbedaannya diakibatkan karena perbedaan yang lansung dari tekanan dari sumur terhadap pipa dan satunya merupakan perubahan tekanan pembentukan hidrat akibat fluida atau gas yang di aliri. Dengan perbedaan suhu yang terbentuk yaitu 0.01336 k/kpa dan 43.32 F

LAMPIRAN 1

- Analisis Pembentukan Hydrate Gas Menggunakan Kesetimbangan Vapor-Solid
 - a. Data tekanan operasi (PSIG), temperature operasi (F), komponenkomponen gas dan fraksinya telah disiapkan
 - b. Nilai Ki dari setiap Koomponen gas ditentukan dengan menggunakan grafik kesetimbangan vapor-solid pada masing-masing komponen gas
 - c. Dihitung nilai Yi/Ki (Fraksi Mol/Ki) dengan membangikan nilai Yi per Ki
 - d. Menjumlahkan total nilai Yi/Ki
 - e. Menginterpolasi hasilnya sehingga memiliki nilai Yi/Ki = 1
 - f. Suhu pembentukannya diperoleh

Tabel 2. Contoh perhitungan metode vapor solid

| anali <mark>sa ga pada bulan</mark> januari - juni 2019 (sumber: pipa 2 <mark>4" C</mark> IMALAYA) | | | | | | | | |
|--|------------------------|--------|-----------|---------|-----------|--|--|--|
| Pressur | Temperature : 114.07 F | | | | | | | |
| komposisi gas | fraksi | | At 40 F | At 45 F | | | | |
| komposisi g <mark>as</mark> | Haksi | AKILE | Yi/Ki | Ki | Yi/Ki | | | |
| N2 | 0.01538 | 200 | 5 | 7 | | | | |
| CO2 | 0.06566 | | | | | | | |
| CH4 | 0.8443 | 2.08 | 0.4059135 | 2.22 | 0.3803153 | | | |
| C2H6 | 0.03108 | 0.342 | 0.0908772 | 0.63 | 0.0493333 | | | |
| C3H8 | 0. <mark>0263</mark> 4 | 0.040 | 0.6585000 | 0.082 | 0.3212195 | | | |
| n-C4H10 | 0.00642 | 0.44 | 0.0145909 | 0.74 | 0.0086757 | | | |
| i-C4H10 | 0.00468 | 0.015 | 0.3120000 | 0.033 | 0.1418182 | | | |
| n-C5H12 | 0.0015 | | | | | | | |
| i-C5H12 | 0.00192 | | | | | | | |
| C6H14 | 0.00272 | | | | | | | |
| | 1.0000 | 1.4819 | | 0.9014 | | | | |

| temperatur | |
|------------|--------|
| 40 F | 1.4819 |
| 45 F | 0.9014 |
| Х | 1 |

diketahui: H1= 40 F H2= 45 F

ditanya pada temp<mark>eratur berapa nil</mark>ai ∑ ada<mark>lah 1?</mark>

jawaban $40 - \frac{(1.4819 - 1)}{(1.4819 - 0.9014)} \times (40-45) = 44.15043 \text{ F}$

jadi ∑ sama dengan 1 yaitu suhu 44.15043 F

Perhitungan menggunakan metode ini dengan menggunakan data tekanan dan temperature dengan memasukkan nilai dari masing-masing komponen gas pada fraksi molnya. Nilai fraksi molnya Yi dibagi dengna nilai Ki yang merupakan nilai yang didapatkan dari metode graifk kesetimbangan. Hasil-hasil tersebut untuk memeperoleh Yi/Ki=1.

a. Ha<mark>sil perhitungan</mark> menggunakan rumus kesetimban<mark>ga</mark>n vapor solid

Dalam perhitungan penentukan titik terbentuknya gas hidrat menggunakan vapor solid,- maka perhitunggan manggunakan persamaan berikut:

$$\sum_{i=1}^{n} \left(\frac{Yi}{Ki} \right) - 1 = H1 \frac{(H1)\frac{Yi}{Ki} - 1}{\frac{(H1)Yi}{Ki} - \frac{(H2)Yi}{Ki}} \times (H1 - H2)$$

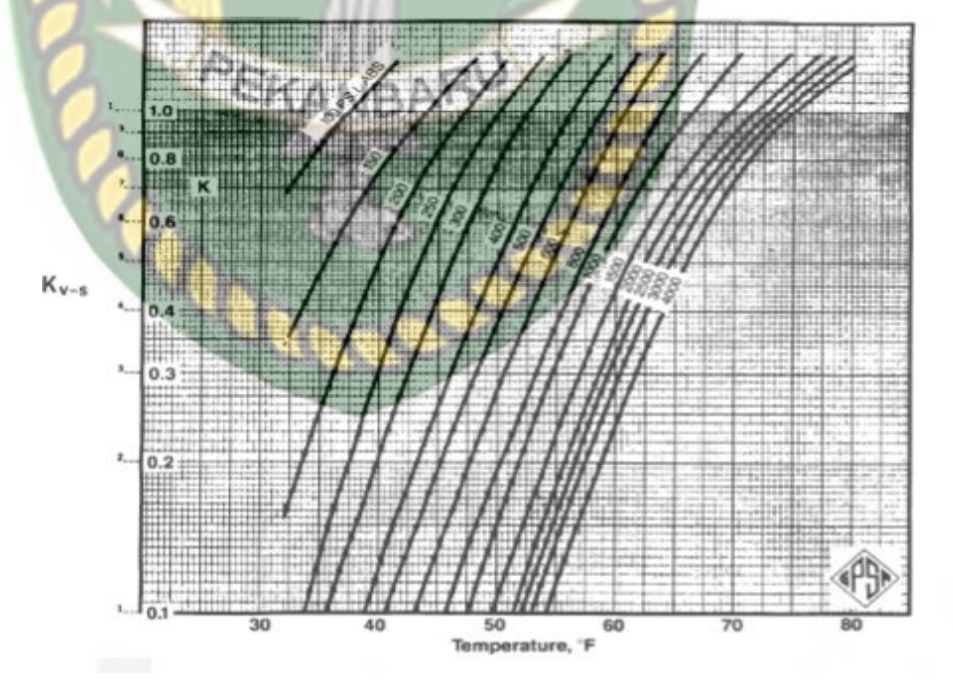
=
$$40 - \frac{(1.4819 - 1)}{(1.4819 - 0.9014)} \times (40-45) = 44.15043 F$$

2. Grafik konstanta kesetimbangan vapor solid pada masing-masing komponen gas

a. Metana

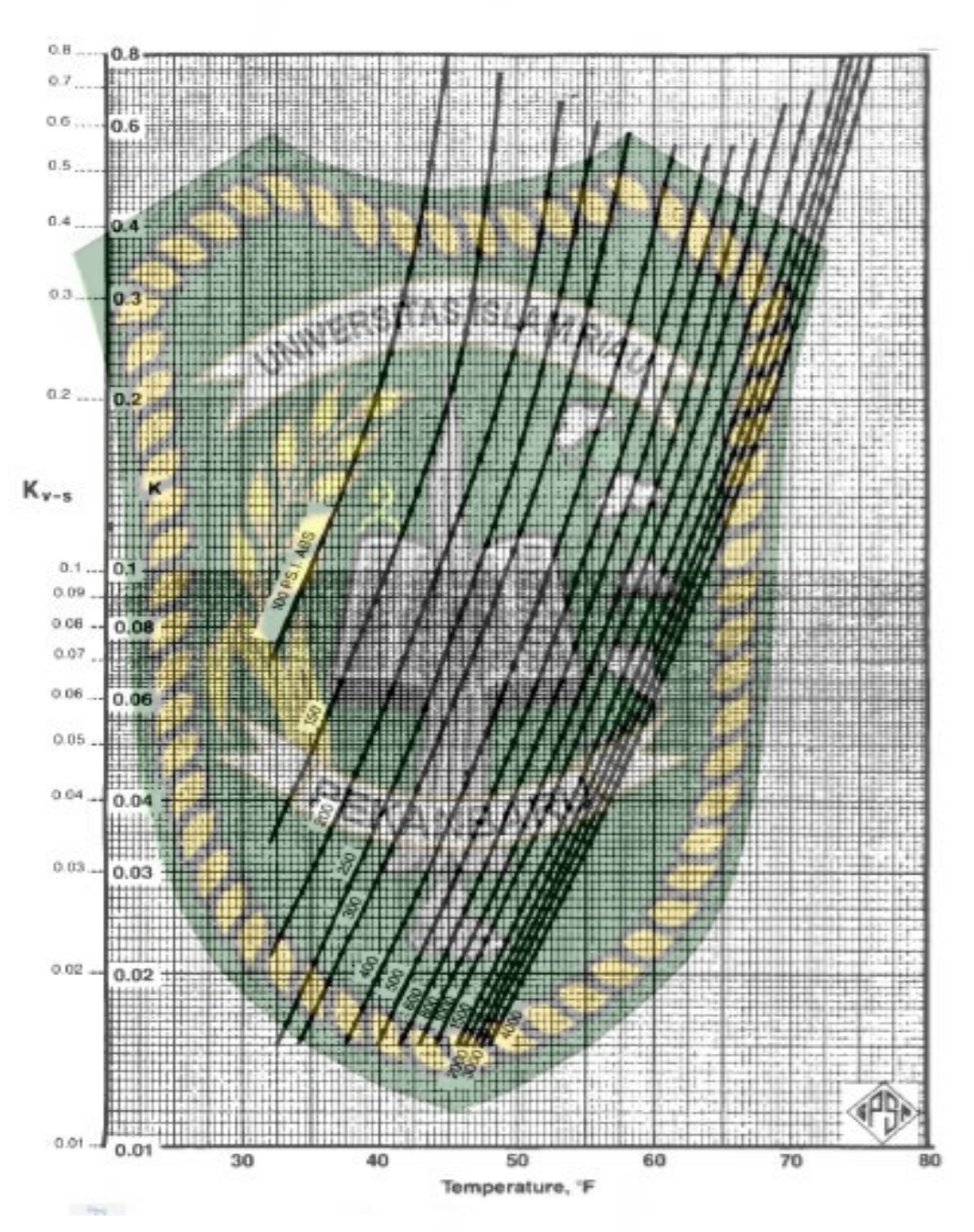


b. Etana



Gambar 7. Grafik kesetimbangan vapor solid Etana

c. propana



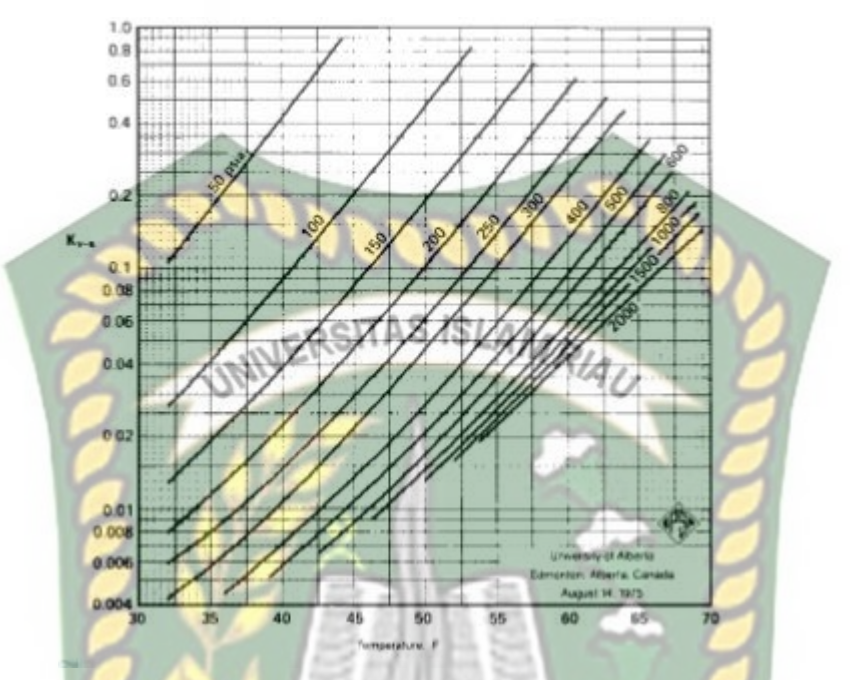
Gambar 8. Grafik kesetimbangan vapor solid Propana

d. n-Butana

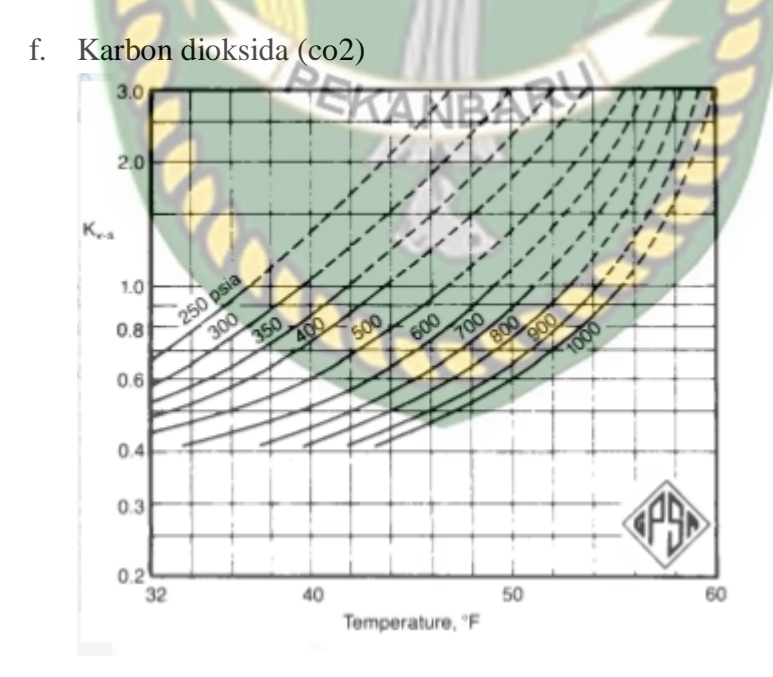
Temperature, °C 15 0.5 0.3 0.1 0.08 0.07 0.06 0.05 0.04 About 65 - 61 F Asserted of the control of the contr 0.03 0.02 0.01 40 45 65 35 55 Temperature, °F

Gambar 9 Grafik kesetimbangan vapor solid n-butana

e. isobutana



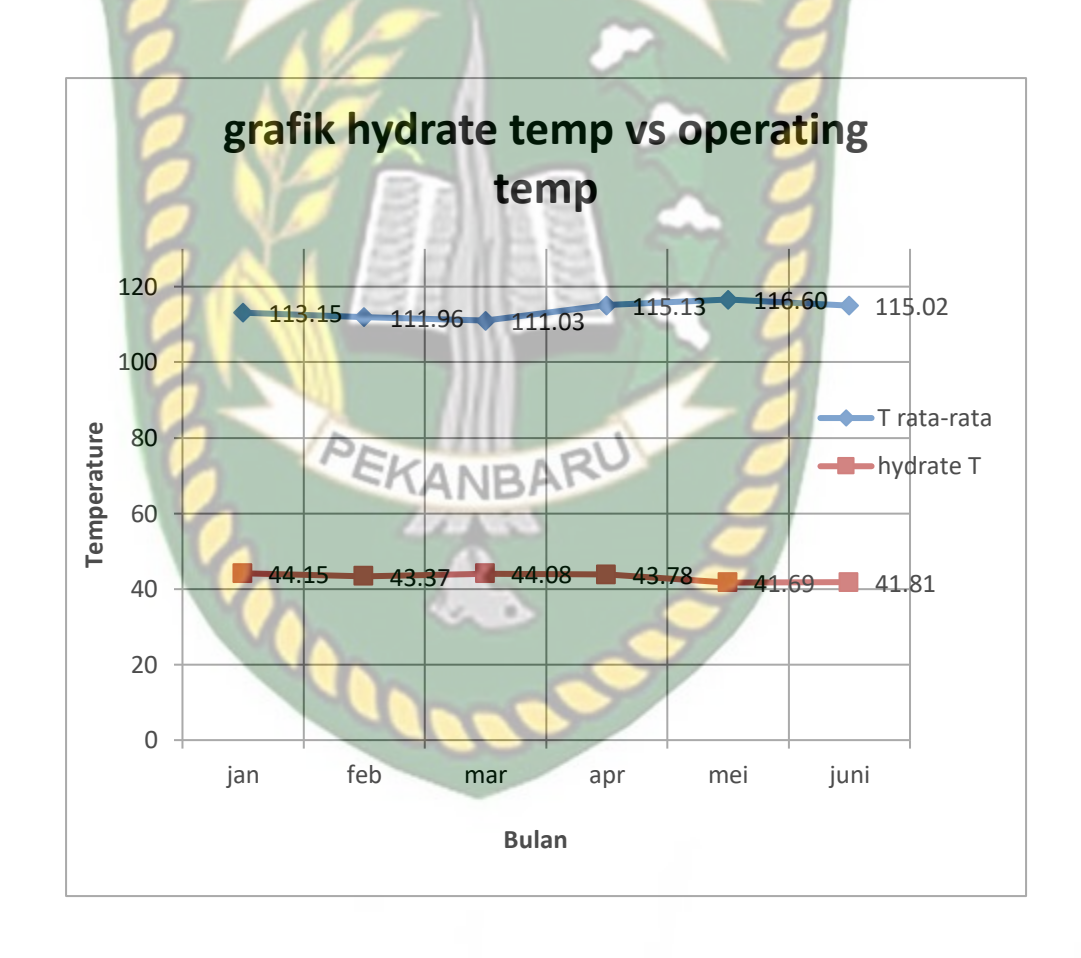
Gambar 10 Grafik kesetimbangan vapor solid isobutana



Gambar 11. Grafik konstanta kesetimbangan vapor solid CO2

3. Hydrate gas yang terbentuk

| hulan | outlet 24'' | | | | | |
|-------|-------------|----------------------|--|--|--|--|
| bulan | hydrate T | T operating | | | | |
| jan | 44.15 | 113.15 | | | | |
| feb | 43.37 | 111.96 | | | | |
| mar | 44.08 | 111.03 | | | | |
| apr | 43.78 | 115. <mark>13</mark> | | | | |
| mei | 41.69 | 116.60 | | | | |
| juni | 41.81 | 115.02 | | | | |
| Rata | perbulan | 43.1467 | | | | |
| | | | | | | |



LAMPIRAN 2

- 1. Analisis koefesien gas hidrat menggunakan joule-thomson
 - Data fraksi mol Yi didapatkan dari data yang telah ada sesuai pada lampiran 1
 - Menentukan nilai Mi menggunakan data table yang di ambil dari buku peerry's sebagai nilai ketetapan pada masing-masing komponen fraksi mol gasnya.

 Mengkalikan nilai Yi dengan Mi yang telah didapatkan
 - c.
 - d. Menentukan nilai Pc menggunakan data table yang di ambil dari buku peerry's sebagai nilai ketetapan pada masing-masing komponen fraksi mol gasnya.
 - Nilai ketetapan Pc yang didapatkan dikalikan dengan Yi fraksi molnya e.
 - Menentukan nilai Tc menggunakan data table yang di ambil dari buku f. peerry's sebagai nilai ketetapan pada masing-masing komponen fraksi mol gasnya. (hal: 2-136) (Maloney, 2007)
 - Mengkalikan nilai Yi terhadap Tc g.
 - Nilai Yi.Mi, Yi.Pc dan Yi.Tc yang telah didapatkan lalu dijumlahkan h.
 - Maka data untuk data fisik gas table 4 telah didapatkan yaitu untuk i. menghasilkan nilai Tc dan Pc
 - Selanjutnya pada table 5 untuk mendapatkan nilai Mcp yang diambil dari j. buku fundamental of natural gas processing
 - k. Nilai Mcp dilihat atau didapatkan sesuai pada range suhu mulai dari 0 ke range 150, dari range pertengah 130 dari suhu pipanya
 - 1. Masing-masing Mcp dari suhu 0 yang didapatkan akan dikalikan sesuai fraksi mol komponen gasnya begitu pupa pada suhu 150
 - Mcp dari suhu 0 dan 150 di jumlahkan

Tabel 3. Data fisik gas untuk menentukan nilai Pc dan Tc

| komponon | Yi Mi | N 4: | V: NA: | Pc | | Yi.Pc | Tc | Vi To | |
|----------|---------|--------|---------------|---------|----------------|----------|-----------------|----------|--|
| komponen | YI | Mi | Yi.Mi | Pa | Pa kP a | | K | Yi.Tc | |
| N2 | 0.01538 | 28.014 | 0.431 | 3390000 | 3390 | 52.1382 | 126.2 | 1.940956 | |
| CO2 | 0.06566 | 44.010 | 2.890 | 7390000 | 7390 | 485.2274 | 304.21 | 19.97443 | |
| CH4 | 0.8443 | 16.043 | 13.545 | 4590000 | 4590 | 3875.337 | 19 0.564 | 160.8932 | |
| C2H6 | 0.03108 | 30.070 | 0.935 | 4850000 | 4850 | 150.738 | 305.32 | 9.489346 | |
| C3H8 | 0.02634 | 44.097 | 1 .162 | 4210000 | 4210 | 110.8914 | 369.83 | 9.741322 | |
| n-C4H10 | 0.00642 | 58.123 | 0.373 | 3770000 | 3770 | 24.2034 | 425.12 | 2.72927 | |
| i-C4H10 | 0.00468 | 58.123 | 0.272 | 4480000 | 4480 | 20.9664 | 274.45 | 1.284426 | |
| n-C5H12 | 0.0015 | 72.150 | 0.108 | 3360000 | 3360 | 5.04 | 469.7 | 0.70455 | |
| i-C5H12 | 0.00192 | 72.120 | 0.138 | 3380000 | 3380 | 6.4896 | 568.1 | 1.090752 | |
| C6H14+ | 0.00272 | 86.177 | 0.234 | 3020000 | 3020 | 8.2144 | 497.5 | 1.3532 | |
| | 1.0000 | 100 | | | | 4739.246 | | 209.2014 | |

Tabel 4. Data fisik gas untuk menentukan nilai Mcp

| kampanan | Yi | M | Ср | Yi. MCp | | |
|----------|---------|--------|--------|----------|------------------|--|
| komponen | II | 0 C | 150 | 0 | 1 50 | |
| N2 | 0.01538 | 6.96 | 6.96 | 0.107045 | 0.001646 | |
| CO2 | 0.06566 | 8.38 | 9.29 | 0.550231 | 0.036128 | |
| CH4 | 0.8443 | 8.23 | 8.95 | 6.948589 | 5.86 6694 | |
| C2H6 | 0.03108 | 11.44 | 13.78 | 0.355555 | 0.011051 | |
| C3H8 | 0.02634 | 15.65 | 19.52 | 0.412221 | 0.010858 | |
| n-C4H10 | 0.00642 | 20.4 | 25.77 | 0.130968 | 0.000841 | |
| i-C4H10 | 0.00468 | 20.8 | 25.81 | 0.097344 | 0.000456 | |
| n-C5H12 | 0.0015 | 24.94 | 31.66 | 0.03741 | 5.61E-05 | |
| i-C5H12 | 0.0019 | 25.64 | 31.86 | 0.049229 | 9.45E-05 | |
| C6H14+ | 0.0027 | 30.17 | 37.93 | 0.082062 | 0.000223 | |
| Σ | 1.0000 | 172.61 | 211.53 | 8.770654 | 5.928047 | |

2. Hasil perhitungan

Dari beberapa table di atas, yaitu table 4 dan 5 maka dapat ditentukan perhitungan untuk menentukan suhu terbentuknya gas hidrat pada jhoule Thomson dengan data yang diproleh sebagai berikut.

Tabel 5 data yang diperoleh

| No | hasil perhitungan | STAS keterangan | 19 | |
|----|----------------------|--|------------------|-----------|
| 1 | Toutlet | Toulet | 115.5 | K |
| 2 | Tc | Diperoleh dari tabel | 20 9.2014 | K |
| 3 | Pc | Diperoleh dari tabel | 47 39.246 | Кра |
| 4 | R | ketetapan gas | 8.314 | kJ/kmol K |
| 5 | Cp (0 C) | Diperoleh dari tabel | 8.770654 | kJ/kmol K |
| 6 | Cp (150 C) | Diperoleh dari tabel | 5.928047 | kJ/kmol K |
| 7 | a | 27 R2Tc2/64 Pc | 299.6075 | |
| 8 | b | RTc/8Pc | 0.048309 | |
| 9 | | $\mu\pi = \frac{\binom{2a}{RT} - b}{Cp}$ | 0.049967 | К/Кра |

Berdasarkan (persamaan 3) maka dari table 6 dapat kita hitung dengan menggunakan rumus jhoule Thomson untuk menentukan nilai suhu yang terbentuk

$$\mu\pi = \frac{\left(\frac{2a}{RT}\right) - b}{Cp}$$

$$=\frac{(\frac{2\times299.6075}{8.314\times209.2014})-0.048309}{5.928047}=0.049967 \text{ K/Kpa}$$

| bulan | suhu yang |
|----------|-----------|
| Dulan | terbentuk |
| januari | 0.049967 |
| februari | 0.030406 |
| maret | 0.030759 |
| april | 0.030545 |
| mei | 0.030542 |
| juni | 0.03093 |



Tabel 6 Critical Constants and Acentric Factors of Inorganic and Organic Compounds (Perry handbook)

TABLE 2-164 Critical Constants and Acontric Factors of Inorganic and Organic Compounds

| Cmpd. no. | Name | Formula | CAS no. | Mol. wt. | T _{et} K | $P_s \times 1E-06$ P_B | V _n m\Kmol | Z, | Acentric factor |
|--|---|--|---|--|--|--|---|---|---|
| 1 | Methane | CH, | 74828 | 16.043 | 190.564 | 4.59 | 0.099 | 0.286 | 0.011 |
| 2 | Ethano | C ₀ H ₀ | 74840 | 30.070 | 305.32 | 4.85 | 0.146 | 0.279 | 0.098 |
| 3 | Propano | C ₂ H ₈ | 74986 | 44.097 | 369.83 | 4.21 | 0.200 | 0.273 | 0.149 |
| 4 | n-Bulano | C ₄ H _m | 106978 | 58.123 | 425.12 | 3.77 | 0.255 | 0.272 | 0.197 |
| 5 | n-Pentane | | I | | 460.7 | 3.36 | | | 0.251 |
| | | C ₅ H _m | 109660 | 72.150 | | | 0.315 | 0.271 | |
| 6 | n-Hemano | CaH | 110543 | 86.177 | 507.6 | 3.04 | 0.373 | 0.260 | 0.304 |
| 7 | n-Heptane | C ₇ H ₃₀ | 142825 | 100.204 | 540.2 | 2.72 | 0.428 | 0.250 | 0.346 |
| 8 | n-Octane | C _i H _{ii} | 111659 | 114.231 | 568.7 | 2.47 | 0.486 | 0.254 | 0.396 |
| 9 | n-Nonana | C _a H _m | 111842 | 128,258 | 594.6 | 2.31 | 0.540 | 0.252 | 0.446 |
| 10 | n-Ducane | C ₁₀ H _m | 124185 | 142.285 | 617.7 | 2.00 | 0.601 | 0.245 | 0.488 |
| 11 | n-Undocene | C ₁₁ H _{n4} | 1120214 | 156,312 | 639 | 1.95 | 0.668 | 0.242 | 0.530 |
| 12 | n-Dodomor | C ₁₁ H ₁₀ | 112403 | 170.338 | 658 | 1.82 | 0.718 | 0.239 | 0.577 |
| 13 | n-Tridecane | C.H. | 629605 | 1 (4.365 | 675 | 1.68 | 0.779 | 0.233 | 0.617 |
| 14 | n-Tetraclocane | CHAR | | Sisse | 693 | 1.57 | 0.830 | 0.226 | 0.643 |
| 15 | | Cultar E | 629620 | 212.419 | | | 0.888 | 0.222 | 0.685 |
| | n-Pentadocane | Bark m. | ezareza | | RA | 1.47 | | | |
| 16 | n-Hemidonane | Call _{ii} | 544763 | 226.446 | TEV | 1.41 | 0.943 | 0.221 | 0.721 |
| 17 | n-Heptadresese | C _π H _{an} | 629787 | 240.473 | 736 | 1.34 | 0.998 | 0.219 | 0.771 |
| 18 | n-Octadorana | C _n H _n | 593453 | 254,500 | 747 | 1.26 | 1.059 | 0.214 | 0.806 |
| 19 | n-Nonadorano | C ₁₀ H ₄₀ | 629925 | 268,527 | 758 | 1.21 | 1.119 | 0.215 | 0.851 |
| 20 | п-Госпани | C _{so} H _{ax} | 112968 | 282.553 | 768 | 1.17 | 1.169 | 0.215 | 0.912 |
| 21 | 2-Mothylpropanii | C _i H _{in} | 75255 | 58.123 | 408.14 | 3.62 | 0.261 | 0.278 | 0.177 |
| 22 | 2-Methylbutaner | C ₆ H _m | 78784 | 72,150 | 450.43 | 3.37 | 0.304 | 0.268 | 0.226 |
| 23 | 2,3-Dimethylbutane | C ₀ H _M | 79298 | 86,177 | 400.08 | 3.13 | 0.358 | 0.260 | 0.246 |
| 24 | 2-Methylpantane | C ₂ H ₂₄ | 107835 | 86.177 | 497.5 | 3.02 | 0.366 | 0.267 | 0.279 |
| 25 | 2.3-Dimethylpentane | | 565603 | 100,204 | 537.35 | 2.88 | | 0.255 | 0.292 |
| | | C ₂ H ₃₈ | | | | | 0.396 | | |
| 26 27 | 2,3,3-Trimethylpentane 2,2,4-Trimethylpentane | C _a H _m C _a H _m | 560214 540841 | 114,231 114,231 | 573.5 543.06 | 2.81 2.56 | 0.455 0.465 | 0.268 | 0.289 |
| 28 29 30 31 32 33 34 | Ethylone Propylane 1-Butane cin-2-Butane trans-2-Butane 1-Putane | C ₀ H ₄ C ₂ H ₈ C ₄ H ₈ C ₄ H ₈ C ₅ H ₁₀ C ₅ H ₁₀ | 74851 115071 106089 500181 624646 100671 502416 | 28,054 42,061 56,108 56,108 56,108 70,134 84,161 | 282.34 365.57 419.95 435.58 428.63 464.78 504.08 | 5.03 4.63 4.04 4.24 4.08 3.56 3.14 | 0.132 0.188 0.241 0.233 0.237 0.295 0.354 | 0.283 0.286 0.279 0.273 0.272 0.271 0.265 | 0.056 0.137 0.190 0.204 0.216 0.236 0.280 |
| 35 | 1-Heptena | C ₇ H _N | 502767 | 98.188 | 537.20 | 2.82 | 0.413 | 0.261 | 0.330 |
| 36 | 1-Octone | C _i H ₂ | 111660 | 112,215 | \566.65 | 2.57 | 0.460 | 0.251 | 0.377 |
| 37 | 1-Noneme | C _a H _a | 184118 | 126.242 | 503.95 | 2.33 | 0.528 | 0.249 | 0.417 |
| 38 | 1-Deceme | CH | (40g/g) | UMP(\$(4) | 616.4 | 2.21 | 0.584 | 0.252 | 0.478 |
| 39 | 2-Methylpropens | C ₁₀ H ₈₀ C ₄ H ₈ | 115117 | 56,108 | 417.9 | 3.98 | 0.238 | 0.272 | 0.192 |
| 40 | 2-Methyl-1-butone | Call | 568462 | 70.134 | 465 | 3.45 | 0.292 | 0.261 | 0.237 |
| | | C ₆ H _m | | | | | | | |
| 41 | 2-Methyl-2-batene | C ₆ H _m | 513359 | 70.134 | 471 | 3.38 | 0.292 | 0.252 | 0.272 |
| 42 | 1,2-Butadiense | C ₄ H ₆ | 590192 | 54.092 | 450 | 4.36 | 0.220 | 0.255 | 0.166 |
| 43 | 1,3-Butadiene | C ₄ H _e | 106990 | 54.092 | 425.17 | 4.30 | 0.220 | 0.268 | 0.192 |
| 44 | 2-Methyl-1,3-butadiene | C ₂ H ₈ | 78795 | 68.119 | 484 | 3.55 | 0.277 | 0.265 | 0.158 |
| 45 | Acetylene | C ₂ H ₄ C ₂ H ₄ | 74892 | 26.038 | 308.32 | 6.15 | 0.113 | 0.271 | 0.188 |
| 46 | Methylacetylene | CaH4 | 74907 | 40.065 | 402,30 | 5.62 | 0.164 | 0.276 | 0.216 |
| 47 | Dimethy lacety lene | C _i H _n | 503173 | 54.092 | 473.2 | 4.87 | 0.221 | 0.274 | 0.239 |
| 48 | 3-Methyl-1-butyne | C ₀ H ₀ | 509932 | 68.119 | 463.2 | 4.20 | 0.275 | 0.300 | 0.308 |
| 49 | 1-Pentyne | C _s H _r | 627190 | 68.149 | 481.2 | 4.17 | 0.277 | 0.289 | 0.290 |
| 50 | 2-Pentyne | C ₆ H ₈ | 627214 | 68.119 | 519 | 4.02 | 0.276 | 0.257 | 0.174 |
| 51 | 1-Hexyne | C _n H _m | 610097 | 82,145 | 516.2 | 3.64 | 0.322 | 0.273 | 0.335 |
| 52 | 2-Heavne | C _e H _m | 764352 | 82,145 | 549 | 3.53 | 0.331 | 0.256 | 0.221 |
| 53 | | | | | | | | | |
| | 3-Heayne | C ₀ H _m | 928494 | 82.145 | 544 | 3.54 | 0.334 | 0.261 | 0.219 |
| 54 | 1-Heptyne | C ₇ H _m | 628717 | 96.172 | 550 | 3.13 | 0.386 | 0.260 | 0.272 |
| | 1-Octyne | C ₂ H ₂₄ | 629050 | 110.199 | 585 | 2.82 | 0.441 | 0.256 | 0.323 |
| 55 56 | Vinylacetylene | C ₄ H ₄ | 689974 | 52.076 | 454 | 4.89 | 0.205 | 0.265 | 0.109 |

Tabel 7 Critical Constants and Acentric Factors of Inorganic and Organic Compounds (Perry handbook)

TABLE 2-164 Critical Constants and Acontric Factors of Inorganic and Organic Compounds (Conducted)

| | | | - | e . | ~ | | | | |
|------------|---|---|--------------------|------------------|--------------------|-----------------------------|---------------------------|---------|--------------------|
| Cmpd. | Name | Formula | CAS no. | Mol. wt. | T _e , K | P _a ×1E-06 Pa | V _m m²/Kmol | Z, | Acentric factor |
| 100 | Fluoromethane | CH ₂ F | Footing | 04.000 | | 5 nn | 0.110 | | 0.100 |
| 190 191 | Chloromethane | CH ₂ F CH ₂ Cl | 593533 74873 | 34.033 50.488 | 317.42 416.25 | 5.88 6.69 | 0.113 0.142 | 0.252 | 0.198 0.154 |
| 192 | Trichloromethane | CHCl ₂ | 67663 | 119.377 | 536.4 | 5.55 | 0.238 | 0.296 | 0.228 |
| 193 | Tetrachloromethane | | | 153.822 | 556.35 | 4.54 | 0.238 | 0.270 | 0.191 |
| 194 | Bromomethane | CCl ₄ GH ₂ Br | 56235 74839 | 94,939 | 467 | 8.00 | 0.274 | 0.270 | 0.191 |
| 196 | Fluoroethane | C ₂ H ₂ F | 353366 | 48.060 | 375.31 | 5.04 | 0.156 | 0.263 | 0.218 |
| 196 | Chloroethane | C ₂ H ₂ Cl | 75003 | 64.514 | 460.35 | 5.46 | 0.155 | 0.221 | 0.206 |
| 196 | Bromoethane | C _a H ₃ Gr | 74964 | 108.966 | 503.8 | 6.20 | 0.155 | 0.323 | 0.250 |
| 1.91 | Bronkethane | cdulm | 1401 | 100.000 | Sent | 7 | 0.215 | Westing | U.LOW |
| 198 | 1-Chloropropane | C,H,Cl | 540545 | 78.541 | 503.15 | 4.58 | 0.247 | 0.270 | 0.228 |
| 199 | 2-Chloropropane | C ₂ H ₇ Cl | 78296 | 78.541 | 489 | 4.51 | 0.247 | 0.274 | 0.196 |
| 200 | 1,1-Dichloropropane | C ₂ H ₂ Cl ₂ | VER ST | CHEDSE | . 960 | 4.24 | 0.292 | 0.266 | 0.253 |
| 201 | 1,2-Dichloropropane | C ₂ H _e Cl ₁ | I FRONTSI I | Sign | ME | 4.23 | 0.291 | 0.250 | 0.256 |
| 202 | Vinyl chloride | C ₁ H ₂ G | 75014 | 62,499 | 452.0 | 5.75 | 0.179 | 0.287 | 0.106 |
| 203 | Fluorobenzene | C'H'N | 462066 | 96.104 | 560.00 | 4.54 | 0.260 | 0.262 | 0.247 |
| 204 | Chlorobenzine | C,H,Cl | 109907 | 112.558 | 632.35 | 4.53 | 0.308 | 0.265 | 0.251 |
| 205 | Bromobenzana | C ₀ H ₀ Br | 108861 | 157.010 | 670.15 | 4.52 | 0.324 | 0.263 | 0.251 |
| 0.00 | | Kara Y | LOCOTOLOGO | 00.051 | 100.45 | 0.70 | 0.000 | 0.010 | 0.000 |
| 206 | Air | | 132250100 | 28.951 | 132.45 | 3.79 | 0.092 | 0.318 | 0.000 |
| 207 208 | Hydrogen Helium-4 | H ₁ He | 1333740 7440507 | 2.016 4.003 | 33.19 | 1.32 0.23 | 0.064 0.058 | 0.307 | -0.215 -0.388 |
| 200 | Noon | Ne Ne | 7440019 | 20.180 | 44.4 | 2.67 | 0.042 | 0.300 | -0.038 |
| 210 | | Ar | 7440071 | 39,945 | 150.86 | 4.90 | 0.042 | 0.300 | 0.000 |
| 210 | Argon Fluorine | F ₁ | 7782414 | 37,907 | 144.12 | 5.17 | 0.075 | 0.287 | 0.053 |
| 212 | Chlorine | Cla | 7782505 | 70.905 | 417.15 | 7.79 | 0.124 | 0.279 | 0.073 |
| 213 | Bromine | Br ₁ | 7726966 | 150.808 | 584.15 | 10.28 | 0.124 | 0.286 | 0.128 |
| 214 | Oxygen | Or | 7782447 | 31,990 | 154,58 | 5.02 | 0.074 | 0.287 | 0.020 |
| 215 | Nitrogen | N _z | 7727379 | 28.014 | 126.2 | 3.39 | 0.089 | 0.288 | 0.037 |
| 216 | Ammonia | NH _a | 7964417 | 17.031 | 405,65 | 11.30 | 0.072 | 0.241 | 0.253 |
| 217 | Hydrazine | N ₁ H ₄ | 302012 | 32,045 | 653.15 | 14.73 | 0.158 | 0.429 | 0.315 |
| 218 | Nitrous oxide | N ₂ O | 10024972 | 44.013 | 309,57 | 7.28 | 0.098 | 0.277 | 0.143 |
| 2.11 | 111111111111111111111111111111111111111 | B. B. Tall | 10021012 | 117.4 | | | 0.000 | | 0.141 |
| 219 | Nitric oxide | NO | 10102439 | 30,006 | 180.15 | 6.52 | 0.058 | 0.252 | 0.585 |
| 220 | Cyanogen | C ₂ N ₂ | 460195 | 52,036 | 400.15 | 5.94 | 0.195 | 0.348 | 0.276 |
| 221 | Carbon monoxide | CO | PROPOSIT | 28.010 | O 13202 | 3.40 | 0.095 | 0.300 | 0.048 |
| 999 | Carbon dionida | COz | 2039 | F4016 | 304.21 | 7.39 | 0.095 | 0.277 | 0.224 |
| 223 | Carbon disulfide | CS ₁ | 75150 | 75.143 | 552 | 8.04 | 0.160 | 0.280 | 0.118 |
| 224 | Hydrogen fluoride | HF | 7664393 | 20,006 | 461.15 | 6.49 | 0.069 | 0.117 | 0.383 |
| 225 | Hydrogen chloride | HC | 7647010 | 36.461 | 324.65 | 8.36 | 0.082 | 0.253 | 0.134 |
| 226 | Hydrogen bromide | HBr | 10035106 | 80.912 | 363.15 | 8.46 | 0.100 | 0.280 | 0.069 |
| 227 | Hydrogen cyanide | HCN | 74908 | 27.026 | 456.65 | 6.35 | 0.139 | 0.195 | 0.407 |
| 228 | Hydrogen sulfide | H _u S | 7783064 | 34.082 | 373.53 | 9,00 | 0.099 | 0.287 | 0.096 |
| 220 | Sulfur dioxide | SOz | 7446095 | 64.065 | 430.75 | 7.86 | 0.123 | 0.269 | 0.244 |
| 230 | Sulfur trioxido | 50 _a | 7446119 | 80.064 | 490.85 | 8.19 | 0.127 | 0.255 | 0.423 |
| 231 | Water | H _z O | 7732185 | 18.015 | 647.13 | 21.94 | 0.056 | 0.228 | 0.343 |
| | | | | | | | | | |

All and a transport of the design of the des

DAFTAR PUSTAKA

- Abdullah, W., Rosyid, D. M., & Citrosiswoyo, W. (2012). *Analisa Risiko dan Langkah Mitigasi pada Offshore Pipeline*. 1(1).
- Aji, A. S., Priyonggo, P., & Wismawati, E. (2020). Pencegahan terbentuknya hidrat dengan insulasi pada operasional pipa gas alam. *Proceeding Conference of Piping Engineering and Its Application*, 5(1), 207–211. http://journal.ppns.ac.id/index.php/CPEAA/article/view/1422/1005
- Ameripour, S. (2005). Prediction of Gas-Hydrate Formation Conditions in Production and Surface Facilities Prediction of Gas-Hydrate Formation Conditions in Production and Surface Facilities. August, 79.
- ESDM. (2020) Mengenal Gas Hidrat Potensi Energi Alternativ Masa Depan. http://litbang.esdm.go.id/
- Harun, M. (2012). Warta Pertamina. Corporate Communication Sekretaris Perseroan PT Pertamina (Persero), 7.
- Kemdikbud. (2015). *Gas Processing*.
- Kementerian ESDM. (2014). Pembangunan Jaringan Gas Bumi untuk Rumah Tangga. Direktorat Jenderal Minyak Dan Gas Bumi Kementerian ESDM Republik Indonesia, 1–140. http://migas.esdm.go.id/uploads/buku-jargas-isi.pdf
- Lachance, J. W., & Keinath, B. L. (2015). *Hydrate Cold Restarts: Paradigm Shifts in Hydrate Management*. *December*, 6–9. https://doi.org/10.2523/iptc-18432-ms
- Maloney, J. O. (2007). PERRY Chemical Engineering Handbook. *Perrys' Chemical Engineers' Handbook*, 21. http://books.google.com/books?id=X1wIW9TrqXMC&pgis=1
- Martaningtyas, M., & Ariesyady, D. (2018). *Identifikasi Bahaya Dan Analisis Risiko Pada Jaringan Pipa Transmisi Crude Oil Di PT*. X. 24(2), 12–22.
- Masoudi, R., & Tohidi, B. (2005). Gas-Hydrate Production For Natural-Gas Storage And Transportation. *JPT, Journal of Petroleum Technology*, *57*(11), 73–74.
- Merey, Ş. (2016). Drilling of gas hydrate reservoirs. *Journal of Natural Gas Science and Engineering*, 35(Part A), 1167–1179. https://doi.org/10.1016/j.jngse.2016.09.058

- Naseer, M., & Brandst, W. (2011). *Hydrate formation in natural gas pipelines*. 70, 261–270. https://doi.org/10.2495/MPF110221
- Nindya K, N. (2019). Analisis Hydrate Formation Temperature dan Water Content Pada Sumber Gas Outlet Cilamaya Pipa 24 inch di PT. Pertamina Gas Western Java Area Distrik Cilamaya.
- Novandy, A. (n.d.). Evaluasi injeksi penambahan bahan kimia untuk pencegahan pembentukan gas hidrat. 04(2), 1–5.
- Ruppel, C. D. (2018). Gas Hydrate in Nature. U.S. Geological Survey, Fact Sheet.
- Sanjaya, A. S., & Nofendy, A. (2018). Prediksi Pembentukan Hidrat Gas dengan Pengaruh Joule-Thomson Effect yang Diakibatkan oleh Choke Performance. *Jurnal Chemurgy*, 1(1), 1. https://doi.org/10.30872/cmg.v1i1.1132
- Susanto heri. (2016). *Geophysical, Workshop, Explore and Seminar (GWES) Universitas Lampung*. 5–7.
- Swaranjit Singh, A. A. (2015). Natural Gas Hydrate as an Upcoming Resource of Energy. *Journal of Petroleum & Environmental Biotechnology*, 06(01), 1–6. https://doi.org/10.4172/2157-7463.1000199
- Syukur, M. H. (2016). Hydrate Gas Alam: Prediksi Dan Pencegahannya. Forum Teknologi, 02(2).
- United, T., & Geological, S. (2007). An introduction to natural gas hydrate / clathrate: The major organic earbon reserve of the Earth. 56, 1–8. https://doi.org/10.1016/j.petrol.2006.09.006
- USGS. (2018). The U.S. Geological Survey's Gas Hydrates Project. January.